

ГОСУДАРСТВЕННЫЙ ГЕОЛОГИЧЕСКИЙ КОМИТЕТ СССР  
БУРЯТСКОЕ ГЕОЛОГИЧЕСКОЕ УПРАВЛЕНИЕ

Экз. № — 97

# ГЕОЛОГИЧЕСКАЯ

## КАРТА СССР

Масштаба 1:200 000

Серия Западно-Забайкальская

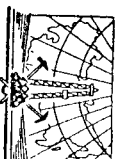
Лист М-48-XVII

Объяснительная записка

Составители: В. А. Новиков, А. Н. Новикова

Редактор П. И. Налетов

Утверждено Научно-редакционным советом ВСГЕИ,  
26 декабря 1961 г., протокол № 629



ИЗДАТЕЛЬСТВО «НЕДРА»  
МОСКВА 1965

## СОДЕРЖАНИЕ

Стр.

Введение . . . . .	3
Стратиграфия . . . . .	5
Интузивные образования . . . . .	33
Тектоника . . . . .	39
Геоморфология . . . . .	45
Полезные ископаемые . . . . .	47
Подземные воды . . . . .	62
Литература . . . . .	65
Приложения . . . . .	67

## ВВЕДЕНИЕ

Территория листа М-48-XVII расположена в пределах Кяхтинского, Джидинского и Бичурского района Бурятской АССР и непосредственно граничит с Монгольской Народной республикой. Описываемый район ограничен географическими координатами:  $50^{\circ}00' - 50^{\circ}40'$  с. ш. и  $106^{\circ}00' - 107^{\circ}00'$  в. д. Территория листа заключена в междуречье Селенги и Чикоя и представляет собой типичную среднегорную страну. На северо-западе района расположены южные отроги Боргойского хребта, на западе — восточная оконечность Джидинского хребта, который на право-бережье р. Селенги разделяется на два хребта: Хангидай и Калиновый. Относительные превышения наиболее высоких вершин над дном долины р. Селенги не превышают 300—400 м.

В центральной части района южнее хребта Калинового расположен Бургутуйский хребет, занимающий большую часть площади листа. Хребет северо-восточного направления и отделен от Калинового и Хангидайского хребтов Субукгутайской впадиной. Его длина 18—20 км и ширина 7—10 км; максимальные высоты хребта достигают 1100 м, относительные 300—500 м. Склоны хребта изрезаны попечечными сухими падями на склонные гряды и отдельные возвышенности.

На юго-востоке района расположена Бургунская степь, являющаяся на юго-западе продолжением Хилокской впадины. Степь разделена невысокими Кирсанскими горами на две части. В юго-восточной ее части расположено горько-соленое оз. Кирган. Бургунская степь представляет собой плоскую равнину с небольшим наклоном к югу и редкими невысокими холмами.

К востоку от долины р. Чикоя находится западная оконечность Тамирской гряды, в пределах которой отчетливо выражены горы Малый и Большой Кумыны.

Гидрографическая сеть района хорошо развита и представлена судоходными реками Селенгой и Чикоем. Долины этих рек ориентированы в меридиональном направлении. Ширина долины р. Селенги 3,5—4 км, р. Чикоя — 3—3,5 км.

На северо-западе района протекает р. Джуда. На протяжении 18 км река разветвляется на несколько русел, пойма ее

Редактор издательства С. Я. Альховская

Технический редактор В. В. Романова      Корректор Холупова Г. Я.

Подписано к печати 25/III 1965 г.

Формат 60×90<sup>1/16</sup>      Печ. л. 4,5      Уч.-изд. л. 5,2

Тираж 100 экз.

Издательство «Недра», Москва, Центр. ул. Кирова, 24.  
Типография фабрики № 9 ГУПК

представлена заливными лугами, часто с высокой луговой растительностью и кустарником.

Правыми притоками р. Чикой являются реки Песчанка, Харлуны, а левыми — реки Кирен и Худусуй. С правой стороны в р. Селенгу впадают реки Мельничная и Субкутуй. Другие более мелкие водотоки, как Верхний и Нижний Ботый, Кахтинка, Грязнуха теряют свою воду в песках.

Климат района резко континентальный. Характеризуется малым количеством осадков (от 215 до 352 мм), ясной погодой и относительно сильными ветрами при сильных морозах. Максимальное количество атмосферных осадков выпадает в июль-августе. Среднегодовая температура не превышает +0,7°, средняя температура января —21°, июля +18°.

Характер почвенного покрова и растительности находится в тесной зависимости от климата, рельефа и геологического строения. Наиболее широко развиты подзолистые почвы. Для возвышенных частей характерны хризово-суглинистые почвы, во впадинах и долинах рек — скрытоподзолистые, аллювиально-луговые и в редких случаях болотистые почвы. Значительную площадь в районе занимают перевеваемые пески, лишевые почвенный покровы и растительности.

Растительный мир характеризуется разнообразием таежных и степных форм. Здесь можно встретить лиственицу, сосну, ель, березу, осину. В поймах рек распространены густые заросли черемухи, сибирской яблони, ильмовника, боярышника, облепихи. Среди степной растительности встречаются кустарниковые растения спирей и востреповые.

Из животного мира в районе волятся волки, косули, лисицы, зайцы, бурундукки, а в степях — тарбаганы, даурские пищухи, сурски, тушканчики, монгольские песчаники.

Район хорошо обжит. Население его смешанное — буряты, русские, татары. Значительная часть населения проживает в г. Кяхте, поселках Усть-Кяхта, Наушки, Харанхой, Чикой. Население занято в промышленности и в сельском хозяйстве. Сельское хозяйство имеет животноводческий уклон.

В районе хорошо развиты пути сообщения. Железная дорога Улан-Удэ — Наушки, плюс с асфальтовым покрытием Улан-Удэ — Кяхта, судоходные реки Селенга и Чикой, большое количество проселочных дорог улучшенного качества.

История изучения района тесно связана с именами видных геологов и исследователей России. Район посещался Гмелевым, Палласом, Георгием, Сиверсом, Гумбольдтом, Черским и др. Однако интерес. Особое внимание заслуживают работы В. А. Обручева по «Селенгинской Даурии». В них приводятся сведения по геологии, петрографии, гидрографии, тектонике и полезным ископаемым района. Взгляды В. А. Обручева на тектонику

Юго-Западного Забайкалья разделяются многими геологами и в настоящее время.

Геологическая съемка впервые в районе была проведена П. М. Клевенским в 1934—1935 гг. в масштабе 1:200 000. П. М. Клевенским были подробно описаны метаморфические, эфузивные, осадочные и интрузивные образования и указан ряд рудопроявлений и месторождений полезных ископаемых. Геологическая карта П. М. Клевенского для своего времени отличалась высоким качеством, а предложенная им схема страграфии и магматизма легла в основу всех последующих исследований.

В 1945 г. изучением района занимался К. А. Денисов, кото-рый в своем отчете большое внимание уделил пегматитам Заганского хребта.

Одновременно с ним в Бурдунской степи А. С. Стругов проводил поиски на уголь. В итоге этих работ он пришел к заключению о бесперспективности на уголь юго-западной оконечности Хилок-Чикойской впадины.

Изучением Киренского озера в 1951 г. занималась Ц. Дондюбэ.

С 1954 по 1957 г. в Кяхтинском районе И. П. Осташкиным проводились геологотиповые работы на оgneупорные и туго-плавкие глины.

В 1956 г. на территории листа В. В. Суслениковым проведена аэромагнитная съемка масштаба 1:200 000.

С 1955 по 1959 г. широко проводились поиски и разведка силиманитовых сланцев. Изучением их занимались И. П. Осташкин, В. В. Беренгилова (1956), А. Ф. Китайник (1956), А. Р. Сущон и Т. М. Дембо (1958) и многие др. Поисками флюоритовых месторождений и стеклокомплекса 1:50 000 на правобережье р. Селенги (1959—1960) занимались А. К. Извеков и Ф. П. Леснов.

В 1960 г. В. А. Новиковым, А. Н. Новиковой и И. Н. Павловцем на территории листа М-48-XVII проведена комплексная геолого-гидрологическая съемка в масштабе 1:200 000.

В связи с переназначением в 1952 г. государственной геологической карты СССР масштабом 1:1 000 000 листа М-48, П. И. Наголовым на территории Бурятии были проведены рекогносировочные маршруты. Полученные им материалы, дополненные позднейшими исследованиями, нашли свое отражение в его монографической работе «Стратиграфия центральной части Бурятской АССР».

## СТРАТИГРАФИЯ

В геологическом строении площади листа М-48-XVII принимают участие метаморфические, нормально осадочные и вулканические образования. Роль интрузивных пород в строении рай-

она второстепенна. На современной стадии изученности в строении района выделяются докембрийские, пермо-триасовые, юрские, меловые, неогеновые и четвертичные образования. Сводный стратиграфический разрез представляется в следующем виде.

#### Архей-протерозой

**Хангарульская толща.** Биотитово-роговообманковые, амфиболовые, биотитовые, биотитово-гранатовые, двуслюдянные гнейсы, ортогнейсы, силлиманитовые сланцы, кварциты.

#### Средний протерозой

**Малханская серия нерасчлененная.** Биотитовые, амфиболово-биотитовые, кварцево-серпентитовые, кварцево-гематитовые сланцы и порфириоды.

#### Кембрий

**Боргойская свита.** Фельзиты, фельзит-порфиры, кварцевые порфириты, диабазы и их туфы.

#### Верхний отдел пермской системы и нижний отдел триасовой системы

**Петропавловская свита.** Мелафиры, плинооклазовые порфириты, туфы, туфобрекчи, туфоконгломераты. **Заганхунтейская свита.** Ортофиды, сиенит-порфиры, кератофиды, агломераты, туфы, туффиры.

#### Юрская система

**Хилокская свита.** Трахибазальтовые, авитовые порфириты, плагиопорфириты, трахиандезиты, туфы, конгломераты, песчаники.

**Верхний отдел юрской системы и нижний отдел меловой системы**

#### Гусиноозерская серия

**Сангинская свита.** Конгломераты, гравелиты, песчаники с прослоями алевролитов.

**Селенгинская свита.** Конгломераты, песчаники, аргиллиты, алевролиты, угли.

#### Кайнозой

##### Неогеновая система

**Цежейская свита.** Андезито-базальты, трахибазальты, гиалобазальты, долериты, агломераты.

#### Четвертичная система

**Нижний и средний отделы нерасчлененные.**  
Пески, глины, галечники.

**Средний верхний отделы.** Галечники, пески, глины.  
**Верхний отдел.** Супеси, суглинки, галечники, лессовидные образований, закрепленные пески.

**Современный отдель.** Аллювиальные отложения поймы и террас нижнего комплекса, золовые пески.

#### Архей-протерозой

**Хангарульская толща (A — Ptihu).** Породы хангарульской толщи широко распространены на территории листа М-42-XVII. В основном они развиты на правобережье р. Селенги западнее г. Кяхты; небольшие площади их также встречаются северо-восточнее пос. Усть-Харлун.

Для этой толщи характерно тесное переслаивание парагнейсов и кристаллических сланцев с амфиболитами и ортогнейсами. Силлиманитовые сланцы и кварциты приурочены к верхам толщи, слагая пачку мощностью в 300—400 м.

**Роговообманковые гнейсы** серого цвета, среднезернистые с гнейсовидной и массивной текстурой. Они сложены в основном плинооклазом (30%), роговой обманкой (20—50%) и кварцем (до 5—7%). Значительно реже отмечается гранат, моноклинный пироксен. Аксессорные минералы представлены апатитом, сферулом, цирконом, в торичные — серпиллом, эпидотом, кальцитом.

Структура пород нематогранобластовая, нематолепидобластовая, порфиробластовая.

**Биотитово-роговообманковые гнейсы** отличаются от описанных выше лишь более светлой окраской в результате снижения количества темноцветных минералов.

Структура гнейсов лепидогранобластовая, с элементами пойкилитовой и нематобластовой текстура гнейсовидная.

Минералогический состав гнейсов: плинооклаз (40—60%), ортоклаз (10—25%), кварц (5—20%), биотит (5—20%) и роговая обманка (1—10%). Аксессории представлены сферулом, апатитом, рудным минералом, цирконом.

**Биотитовые гнейсы** серые, среднезернистые, гнейсовидные породы, сложенные плинооклазом (до 25%), биотитом (до 10%), кварцем (до 25%), мусковитом (до 4%). В небольших количествах отмечается калиевый полевой шпат и роговая

обманка. Аксессорные — апатит, циркон, гранат, сфен, рутил.

Структура гнейсов гранобластовая, пойкилобластовая.

*Биотитово-гранатовые гнейсы* менее распространены и встречаются в тесном переслаивании с биотитовыми гнейсами или же образуют самостоятельные прослои мощностью до нескольких десятков метров.

Гнейсы светло-серого и серого цвета, с резко выраженной гнейсовидной текстурой. В состав гнейсов входят плагиоклаз, калиевый полевой шпат, биотит, кварц и темно-красный гранат.

Структура гнейсов порфиробластовая, гранобластовая. Редко. Пространственно они приурочены к пегматитовым жилам и образовались, по всей вероятности, в результате воздействия последних на вмещающие породы. Это мелко- и среднезернистые породы, состоящие из кварца, биотита, мусковита, плагиоклаза и калиевого полевого шпата. Аксессорные минералы представлены апатитом, цирконом, магнетитом, вторичные — хлоритом.

*Амфиболиты* слагают маломощные прослои и линзы в гнейсах. Контакты между гнейсами и ими расплющчатые. Макроскопически это средне- и мелкозернистые меланократовые породы, состоящие в основном из роговой обманки, олигоклаз-андезина и калиевого полевого шпата; в меньшем количестве присутствуют кварц, приоксен, биотит. Из аксессорных минералов отмечены алатит, циркон и магнетит; вторичные минералы представлены хлоритом и эпидотом.

*Ортогнейсы* залегают среди парагнейсов, образуя пластовые тела. Это преимущественно светло-серые, серые, розовато-серые, мелко- и среднезернистые породы с ясно заметной полосчатостью, обусловленной чередованием ориентированных темно-цветных компонентов в основной кварц-полевошпатовой массе.

От вмещающих их парагнейсов ортогнейсы отличаются более светлой окраской, отсутствием сланцеватости, массивной текстурой. Полосчатость ортогнейсов ориентирована в направлении, совпадающем с простиранием вмещающих их парагнейсов и сланцев.

По составу ортогнейсы близки к гранитондам хамар-лабанского интрузивного комплекса. Они сложены плагиоклазом и калиевым полевым шпатом, присущими приметно в равных количествах, кварцем и темноцветными минералами — биотитом и роговой обманкой.

Аксессорными минералами в них являются: апатит, циркон, рутил, гранат, магнетит. Преобладающая структура ортогнейсов — гранобластовая, нередко бластокластическая и бластосланцевая.

*Силлиманитовые сланцы*. Макроскопически это белые, реже светло-серые породы с мелко-, средне- или крупнозернистыми волокнисто-звездчатыми структурами и грубо параллельной тек-

структурой. Сложены они в основном кварцем и силлиманитом. В качестве примеси в них отмечены: мусковит до 3%, полевые шпаты до 5—10%, рутил до 1—2% (редко до 15%), пирит до 10—15%, гидроокислы железа до 5—10%, минералы из группы глин — в переменном количестве, а в редких случаях андалузит и магнетит.

Структура пород меняется от фиброгранобластовой до фиброгранобластовой в зависимости от количественного соотношения кварца и силлиманита, нередко отмечается спиловая, метельчато-спиловая и волокнистая; при появлении ствол — лепидофиброгранобластовая.

Силлиманит образует лучисто-волокнистые и спиловидные агрегаты, реже игольчатые скопления. Максимальное содержание силлиманита в сланцах достигает 40%.

*Кварциты* в силлиманитовых сланцах слагают прослои и линзы мощностью до 30 м. Общая площадь их выходов составляет 0,7—1 км<sup>2</sup>. Это мелко- и среднезернистые породы серого, розовато-серого цвета. Они сложены кварцем (до 98%) с небольшой примесью силлиманита, биотита (1—2%), биотита, хлорита и окислов железа. Структура кварцитов блестящая, блестящая, гранобластовая.

Метаморфические породы хангар-ульской свиты образовались вследствие регионально-контактового метаморфизма первично осадочных и, возможно, эффузивных пород.

Воздействие на эти породы гранитных интрузий выразилось в образовании инъекционных гнейсов, гидротермальных проявлений и частичной перекристаллизации пород.

## Средний протерозой

Малханская серия нерасчлененная ( $D_{2,3}$ )

Среднепротерозойские образования широко развиты в пределах Бургутулуского, Джидинского хребтов. Небольшие поля их отмечены и на южных склонах Заганского хребта.

Они представлены биотитовыми, биотитово-амфиболовыми, кварцево-серпентитовыми, серпентитово-хлоритовыми, кварцево-гематитовыми сланцами и порфириодиами, которые слагают толщу мощностью в 1300—1500 м.

Ранее эти породы некоторыми исследователями (Лембо, 1958) относились к боргейской свите, широко развитой в пределах Боргейского хребта. От последней описываемая толща отличается более высоким метаморфизмом слагающих ее пород, степенью дислокации.

Отложения среднего протерозоя залегают на породах хангар-ульской толщи, а в бассейне р. Желтуры (МНР) несогласно перекрываются фаунистически охарактеризованными отложениями нижнего кембрия. (Маринов, 1957).

*Биотитовые сланцы* серые, темно-серые породы с тонкосланцеватой текстурой. Они слагают низы толщи и широко распространены. Сланцы сложены биотитом, кварцем, плагиоклазом. Аксессорные минералы представлены апатитом, сфеном, цирконом, рудным минералом. Структура биотитовых сланцев лепидогранобластовая.

*Биотитово-амфиболовые* сланцы тесно связаны с биотитовыми. Они преимущественно черного, зеленовато-черного цвета. Сланцы сложены кварцем, роговой обманкой, биотитом. Из аксессорных минералов встречаются апатит, сфен, турмалин, рудный минерал. Структура сланцев лепидогранобластовая и лепидогетеробластовая.

*Зеленые ортосланцы* наиболее распространены. Они представляют собой метаморфизованные изверженные породы (эффузивы основного и среднего состава), в которых плагиоклаз замещен альбитом, а эпилот — поизитовыми минералами; цветные минералы — актинолитом, хлоритом, кальцитом. Местами наблюдается реликтовая структура основных эффузивов — порфиритов, диабазов.

Макроскопически это зеленовато-серые, зеленые, темно-зеленые сланцеватые, реже массивного сложения породы, часто с видимыми порфиробластическими выделениями полевого шпата.

Структура пород реликтовая порфировая, реже реликтовая призматической зернистая.

Текстура сланцеватая, волнисто-сланцеватая, полосчатая, очковая.

Главные пордообразующие минералы зеленых ортосланцев — плагиоклаз, роговая обманка, биотит, эпилот, хлорит. В небольших количествах встречаются калиевый полевой шпат, серпентин, кварц, клиноцизит, карбонат. Аксессории представлены сференом, рудным минералом, алатитом.

*Хлорит-серпентитовые сланцы* зеленовато-серые, тонкозернистого сложения, с хорошо выраженной сланцевостью, а иногда и слоистостью. Главными минералами хлорит-серпентитовых сланцев являются: альбит, хлорит, серпентит. Кварц встречается редко. Структура сланцев лепидогранобластовая, Нередко реликтовая порфирировая.

*Кварц-серпентитовые сланцы* серовато-белого цвета, тонкозернистого сложения. Структура сланцев бластокристаллопластическая, криптоклиновая, микропойкилитовая, миллиновая, тонкокомилонитовая, переходящая в лепидогранобластовую. Текстура неясносланцеватая, сланцеватая, линзовая, очковая.

Основная масса породы сложена мелкозернистым, иногда криптокристаллическим кварц-полевошпатовым агрегатом зерен, интенсивно рассланцованным и миллинизованным. Кроме кварца и полевого шпата, в сланцах отмечаются серпентит и хлорит в виде мелких чешуй, неравномерно распределенных

в основной массе и придающих ей пятнистый вид. Из аксессорных минералов присутствуют сфен, рудный минерал. Исходная порода в большинстве случаев определяется как фельзит-порфир.

*Углоноидные породы*. Кроме измененных фельзит-порфиров и фельзитов, в состав этой группы пород изредка встречаются перекристаллизованные туфы порфиров (туфовые сланцы). В таких породах большое количество обломков вкрапленников. Основная масса их состоит из перекристаллизованного кварц-полевошпатового вещества и сериита.

*Кварц-гематитовые сланцы*. Кварц-гематитовые сланцы имеют узко локальное распространение: они отмечены северо-западнее горы Козьей, где на всем протяжении сопровождают горизонты кварц-серпентитовых лейкократовых сланцев.

Определенного стратиграфического положения гематитовые сланцы не занимают и нередко залегают в виде неправильных прерывистых полос среди кварц-серпентитовых сланцев, имея с ними постепенные переходы. Горизонты сланцев почти повсеместно сопровождаются небольшими маломощными линзами кварца с гематитом, нередко с лазулитом. Протяженность горизонтов 300—400 м.

Кварц-гематитовые сланцы внешне имеют темно-серый, почти черный цвет. Текстура их сланцеватая, полосчатая, пятнистая. Они состоят из гематита (70%) и кварца (30%). Гематит находится в распыленном состоянии, реже обособляется в отдельных выдержаных слоях, в гнездах.

Наряду с кварцем в сланцах содержится апатит и серпентит 48,8% железа. Генезис кварц-гематитовых сланцев не установлен.

Породы среднего протерозоя вместе с хангар-ульской толщей лежат в едином структурном плане и слагают крупную антиклинальную структуру северо-восточного простирания, усложненную более мелкими складками северо-западного простирания.

### Кембрийская система

*Боргойская свита* (Стр. ? br). Породы боргойской свиты на описываемой территории имеют ограниченное распространение. Они отмечены на левобережье р. Джиды, на южном склоне хр. Боргойского.

Боргойская свита сложена фельзитами, фельзит-порфирями, кварцевыми порфирами, туфами, агломератами и в небольшом количестве диабазами. В количественном соотношении преобладают пирокластические образования.

Породы свиты интенсивно динамометаморфизованы и их первичный состав определяется с трудом. Видимая мощность свиты 400—600 м.

Не затронутые динамометаморфизмом фельзиты и фельзит-порфиры представляют собой плотные породы черного, светло-серого и серого цвета. Основная масса фельзит-порфириров сложена полевым шпатом, кварцем. Вкрапленники представлены олигоклазом. Структура микрофельзитовая, фельзитовая и реже сферолитовая.

Кварцевые порфиры серого, светло-серого цвета с порфирировыми выделениями кварца и реже полевого шпата. Основная масса породы сложена мелкозернистым агрегатом кварц-полевого шпатового состава. Структура — порфировая, основной массы — микрофельзитовая.

Диабазы представляют собой темно-зеленые, темно-серые породы мелкозернистого сложения, состоящие из плагиоклаза (15—20%), речея биотита и амфибила и рудных минералов — пирита, ильменита, магнетита. Структура диабазов диабазовая или оффитовая.

Туфы и туфоконгломераты серого, пепельно-серого и темно-серого цвета. Они состоят из обломков эфузивных пород, спементированных фельзитом или туфовым материалом. Структура туфов ликокристаллокластическая, псамmito-псефитовая.

Большая часть пород боргойской свиты претерпела интенсивный динамометаморфизм с образованием катаклазитов и миллионитов. Миллониты эфузивов имеют облик сланцев; им присуща отчетливо выраженная сланцеватость. Макроскопически в миллионитах отчетливо видны порфиробластовые выделения полевых шпатов, ориентированных согласно сланцеватости.

При микроскопическом изучении в измененных породах едва различима основная ткань и порфиробласти, кварц раздроблен и вытянут в виде линзочек, основная масса представляет собой мелкозернистый агрегат, в котором с трудом различаются зерна полевых шпатов, кварца, эпидота, магнетита, ильменита.

Возраст боргойской свиты, как нижнекембрийский, определяется на основании находок спор нижнего кембрия в туфосланцах, развитых в центральной части Боргойского хребта вблизи ст. Билотай (Извеков, 1961).

В 1960 г. Ю. М. Комаровым (сотрудник Иркутского института геологии СОАН) в Боргойском хребте, в 5 км южнее ст. Билотай, в туфосланцах боргойской свиты были найдены расщепленные остатки триасового возраста. Эта находка говорит об условности возрастающего положения свиты. По составу она во многом сходна с тамирской свитой триасового возраста.

### *Верхний отдел пермской системы — нижний отдел*

#### *Триасовой системы*

Петропавловская свита ( $P_2-T_1 pt$ ). Петропавловская свита впервые на территории листа М-48-XVII была описана П. М. Клевенским (1933—1935) под названием «верхнепа-

леозойского эфузивного комплекса». Аналогичные породы в бассейне р. Джида описаны П. И. Налетовым (1941) под названием «мелтафирового комплекса», возраст которого определялся как верхний палеозой — нижний мезозой.

В 1956 г. при разработке легенды для карт масштаба 1 : 200 000 по Западному Забайкалью мелафировому комплексу, по предложению П. И. Налетова, было дано название «петропавловская свита».

Породы петропавловской свиты на площади листа А-48-XVII встречаются на правобережье р. Селенги, на левобережье р. Чикол и районе горы Большой Кумын.

Ввиду довольно однообразного состава и плохой обнаженности разрез свиты не изучен. Породы петропавловской свиты имеют лиловый, красновато-бурый, реже зеленовато-серый и розовато-серый цвет и скрыто-кристаллическое сложение.

По минералогическому составу и структурно-текстурным особенностям в составе свиты выделяются разнообразные эфузивные породы преимущественно среднего, в меньшей степени основного состава. Сюда относятся плагиопорфиры, андезитовые, гипертеневые и базальтовые порфиры. Помимо нормальных лав, наблюдаются агломератовые лавы, туфы и туфобреекий.

*Плагиоклазовые порфиры* состоят из плагиоклаза, измененного оливина, роговой обманки и небольшого количества кварца. Структура их порфировая с гиалопилитовой и интерсергентальной структурой основной массы. Порфировые выделения представлены полисинтетической сдвойникованной призмами полевого шпата. Плагиоклаз основной массы образует мелкие лейсточки, иногда без концевых граней. Интерстиции между лейстами плагиоклаза заполнены раскристаллизованным стеклом и мелкими зернышками рудного минерала. Оливин в плагиопорфирах замещен серпентином и гидрокислами железа, роговая обманка — эпидотом. Акессорные минералы представлены апатитом; из эпигамматических минералов отмечены альбит, серцит, хлорит, карбонаты, лейкоксен.

*Андоэзитовые порфиры* макроскопически схожи с плагиопорфирами. Для последних характерна порфировая структура, основной массы — гиалопилитовая; текстура миндалекаменная, реже флюктуационная. Плагиоклаз вкрапленников представлен интенсивно серпентинизированным андезитом. Основная масса породы сложена призматическими зернами плагиоклаза, промежутки между которыми заполнены пластинчатым хлоритом и редкими зернами ксеноморфного кварца. Акессорные минералы представлены апатитом и рудным минералом.

*Гиперстеновые порфиры* плотные массивные горные породы. Структура их порфировая, основной массы — диабазовая. Гиперстеновые порфиры в основном сложены плагиоклазом

и гиперстеном, который образует скопления в основной массе породы.

*Базальтовые порфиры* отличаются от андезитовых порфириров более основным составом. Структура их порфирована с гиалопилитовой, а местами витрофирировой основной массой.

Порфировые вкрапленники представлены лабрадором и реже калиевым полевым шпатом. Плагиоклаз почти полностью замещен серцитом и интенсивно альбитизирован. Основная масса породы сложена мелкими лейстами плагиоклаза и ксеноморфными зернами калиевого полевого шпата.

Темноцветные минералы базальтовых порфириров представлены сильно измененным моноклинным пироксеном и оливином. Из акцессорных минералов присутствует апатит.

Пирокластические образования в составе петропавловской свиты пользуются ограниченным распространением. Они не имеют определенного стратиграфического положения в составе свиты и представлены туфами, агломератами и туфобрекчиями.

*Туфы и туфобрекции* различаются по величине обломков. В туфобрекциях максимальные размеры обломков 2,5—3 мм, в туфах — значительно меньше. Структура пород литокристаллическая, литокластическая; по величине обломков — псефитовая, пакамитовая, алевро-пакамитовая. Количество обломочного материала непостоянно.

Обломочная часть туфов и туфобрекций сложена андезитовыми порфиритами, базальтовыми порфиритами, обломками плагиоклазов. Обломки сцеплены бурой почтой не раскристаллизованной массой, по которой развиваются хлорит-сериллит.

*Агломератовые лавы* пользуются ограниченным распространением. От туфов они отличаются характером цемента и обломками: обломки и цемент представлены платиопорфиритом. Структура пород — шлиро-тактиловая.

Эпимагматические изменения туфов и туфобрекций выражены в хлоритизации, серicitизации и карбонатизации.

Для всех разновидностей пород петропавловской свиты характерно довольно сильное зеленокаменное изменение. Оно проявилось в серicitизации и соссюритизации плагиоклаза, пелитизации калиевого полевого шпата; широко развивается альбит. Темноцветные минералы полностью замещены хлоритом, серпентином, эпидотом, мусковитом, тальком.

На контакте с гранитонами Мало-куналецкого интрузивного комплекса породы петропавловской свиты ороговикованы.

В зонах разломов они милонитизированы, катаклазированы, брекчированы и пронизаны многочисленными прожилками из котемпературного кварца, эпидота, преита.

Возраст пород петропавловской свиты определяется на основании находок в туфосланцах остатков флоры (левый склон долины р. Чикой, около дер. Черноярово), представленной

*Recorteris crenulata* Руун., *Cladophlebis nervosa* Руун., *Tersiella* sp., *Vuccites* sp. nov. Этот комплекс растительных остатков, по заключению Г. П. Радченко, характерен для ник- него гриаса.

В 1959 г. на левобережье р. Хилка, около дер. Аленгуй, растительные остатки *Paracalamites* sp., *Noggerathiaopsis* cf. *animata* Radcz., *Grassineria parca* Radcz., *Peltcheria maltaensis* Radcz., *Cordaicarpus triangularis* Radcz., *C.* sp., по заключению Г. П. Радченко и И. Н. Сребродольской, характерны для верхней перми (Козубова, 1960).

Цаган-хунтейская свита (Т ch). Первые сведения

о породах цаган-хунтейской свиты приведены в работах

Г. М. Клевенского (1933—1935), который описал их в районе Кирсан под названием «кварцевых и бескварцевых порфиров и сротифиров». До 1956 г. П. И. Налетов эти породы описывал под названием «ортопорфирового комплекса», а после — цаган-

хунтейской свиты.

Эффузивные образования, входящие в состав цаган-хунтейской свиты, развиты в междуречье Кирасы и Чикоя, где они

находятся совместно с породами петропавловской свиты. Здесь

эфузивы цаган-хунтейской свиты несогласно залегают на

породах петропавловской свиты. Обе свиты смты в синкли-

нальную складку.

В основании свиты находятся туфобрекции и туфы, в обломочной части которых наряду с обломками ортофиров встречаются обломки плагиопорфиритов петропавловской свиты.

Выше по разрезу свита сложена покровами ортофиров, кератинофорами и туфов ортофиров небольшой мощности, быстро выклинивающихся и не имеющих определенного стратиграфического положения в разрезе свиты.

В силу плохой обнаженности разрез свиты в районе г. Ки- рана остался не выясненным.

Кроме покровов, сложенных ортофираами, кератофираами и их туфами, здесь выделяются еще дайковые ортофираы и сиенит-порфирьи, явяляющиеся, по-видимому, корнями эффузивных покровов. Дайки сиенит-порфиров прорывают эффузивы петропавловской свиты на правобережье р. Селенги и в междуречье Кирасы и Чикоя.

Породы описываемой свиты имеют мелкозернистое сложение; окрашены в розовые, серовато-лиловые и сранжевые цвета. Обычно для них свойствена порфировая структура. Порфирыевые вкрапленники четко выделяются на фоне основной массы породы и имеют таблитчатую форму.

Пирокластические образования окрашены в темно-бурый, лилово-бурый, почти коричневый цвет. В плотной массе эффу-

ливного цемента отчетливо наблюдаются обломки пород, разнообразной формы и различных размеров.

В количественном соотношении в составе свиты преобладают ортофирры и их туфы и туфобрекции; остальные разновидности менее распространены.

*Ортофирры* состоят из калиевого полевого шпата и единичных зерен плагиоклаза, кварца, сфеата, апатита, ширкона, тигономагнетита, мусковита.

Структура ортофиров порфировая с поликристаллической, микролитовой и микропризматической зернистостью, структурой основной массы. Порфировые выделения представлены таблитчатыми микроклин-перититами. Основная масса породы состоит из призматических, лейстовидных, редко таблитчатых зерен кайле-вого полевого шпата и плагиоклаза и редких зерен кварца. Эпимагматические минералы представлены сернистом, гидроокислами железа, хлоритом.

Кроме ортофиров нормального состава, в Чаган-Хунтской свите отмечены разновидности с повышенным содержанием кварца, которые могут быть названы кварцодержащими ортофиррами.

*Кератофирры*. Главным породообразующим минералом кератофиров является плагиоклаз, представленный альбитом. Для кератофиров наиболее характерна порфировая структура с гиалолитовой или микролитовой структурой основной массы; текстура массивная, либо пористая.

Порода состоит из мельчайших, беспорядочно ориентированных, лейст альбита, среди которых встречаются редкие, таблитчатой формы вкрапленники альбита и в единичных случаях калиевого полевого шпата.

Основная масса породы сильно изменена, пронизана рудной жилью. В довольно больших количествах встречается бледно-зеленый эпидот и птиганомагнетит. Аксессорные минералы представлены апатитом, сфеном.

*Агломератовые лавы*. Помимо лав с порфировой структурой, в составе Чаган-Хунтской свиты встречаются агломератовые лавы с пилирово-такситовой структурой. Они пользуются довольно широким распространением. В них находятся обломки ортофиров и кератофиров, симментированные стекловатой маской бурого цвета, в которой разбросаны порфировые вкрапленники калиевого полевого шпата. Обломки округлой формы, их размеры колеблются в пределах от 0,43 до 1,72 мм.

*Туфы, туффоагломераты*. Собственно пирокластические породы в составе свиты играют значительную роль и широко распространены. Они залягают преимущественно в основании сейты, где слагают базальный горизонт. Обломочная часть этих пород представлена ортофирром, плагиопорфиритом, сплошь измененным гиптробазальтом, кварцем, микроклин-перититом, плагиоклазом. Цементом обломочной части служит сильно хлоритизированное стекло. Структура туфов по величине обломков — псевфито-псамитовая, кристалломикстическая.

Кроме туфов, в разрезе свиты наблюдаются туфы с более однородным составом обломочной части. Эти туфы содержат обломки только ортофиров, кератофиров и стеинит-порфиров, т. е. пород, входящих в состав сиенита. По величине обломков они могут быть подразделены на собственно туфы и туфобрекции. Структура туфов кристалломикстическая, по величине обломков алевропсамитовая, псамитовая и псевфитопсамитовая.

В районе пади Соленая отмечены слоновые пепловые туфы. Это розовато-серые породы, состоящие из стекловатой массы бурого цвета и большого количества обломков полевого шпата, реже ортофира. Наблюдаются чередование простое пепла с прослоями, содержащими в большом количестве крупные обломки. В этих туфах найдены плохо сохранившиеся обуглившиеся растительные остатки, не поддающиеся определению (Рожок, 1954).

*Дайковые ортофирры и стеинит-порфирры*. Даёйки ортофиров и сиенит-порфиров ползутся весьма ограниченным распространением. Они преимущественно северо-восточного простирания, кругопадающие и мощность их определяется от 0,3 до 100 м. Сиенит-порфирры имеют буровато-красную окраску и отчетливо выраженную порфированную структуру. Основная масса породы микропризматическая. Порфировые вкрапления представлены таблитчатыми фенокристаллами микроклин-перитита пятнистого облика. Основная масса породы сложена в основном призматическими и лейстовидными кристаллами того же калиевого полевого шпата с немногими искономорфными зернами кварца.

Аксессорные минералы представлены сфеатом, апатитом, ширкоитом. По сферу развивается лейкоксесс. Довольно много в породе эпимагматических минералов: эпигита, пелита.

В тектонических зонах породы свиты подверглись интенсивному дроблению, вследствие этого они катаклизированы и брекчированы. Катаклизм проявился в дроблении зерен кварца и полевых шпатов, изгибании двойниковых полос плагиоклаза.

Ярко выраженные проявления kontaktного метаморфизма в породах Чаган-Хунтской свиты не наблюдалось. Имеют место лишь незначительные зоны закаек на контакте с микролитами хурабайбийского комплекса.

По данным химических анализов, для всех разновидностей эфузивов Чаган-Хунтской свиты характерна злачительная пересыщенность алюминием, что объясняется сильной пелитизацией калиевого полевого шпата. Ортофирры и кератофирры богаты щелочами. Можно также отметить, что породы Чаган-Хунтской свиты лейкократовые. Величина  $\delta$  у них незначительна, причем в темноцветной части жерезо преобладает на-

магнитем, что позволяет в какой-то степени говорить о низкотемпературных условиях кристаллизации этих пород.

Возрастное положение паган-хунгейской свиты в разрезе триасовых отложений Юго-Западного Забайкалья окончательно не выяснено. Известно, что породы ее залегают на породах петропавловской свиты пермско-триасового возраста и перекрываются горско-меловыми отложениями гусинозерской серии.

Исходя из этих фактов, можно считать, что возрастной интервал свиты определяется нижним триасом и средней юрой. Учитывая, что первые между петропавловской и паган-хунгейской свитами был, вероятно, непроложительным, составители записки эффузивы паган-хунгейской свиты относят к триасовому возрасту.

#### Юрская система (нижний, средний отделы)

Хилокская свита ( $J_{1-2}$  c1). Породы хилокской свиты впервые были выделены и описаны Б. А. Ивановым в «Хилок-Чикойской впадине под названием «эффузивно-осадочные отложения среднеюрского возраста» (1936). Изучением этих отложений занимался здесь и А. С. Стругов (1943).

Б. А. Новиков и Д. Л. Сагалуев (1954—1955 гг.) эффузивно-осадочные породы, лежащие под угленосными отложениями, выделили в самостоятельную хилокскую свиту.

Породы хилокской свиты в настоящее время установлены в Хилок-Чикойской, Тутнуйской и Борогойской впадинах.

В изученном районе породы хилокской свиты известны около дер. Береговой, где они на протяжении 5 км прослежены в скальных утесах правого берега р. Чикой. Небольшие выходы этих пород известны севернее дер. Усть-Киран.

Схематизированный разрез свиты южнее дер. Береговой выглядит следующим образом (снизу вверх):

1. Миндалекаменные порфириты . . . . . 100 м
2. Темно-серые плотные авгиевые порфириты . . . . . 30 "
3. Литовые миндалекаменные порфириты . . . . . 20 "
4. Темно-серые авгиевые порфириты . . . . . 15 "
5. Крупнобобочная туфоректика . . . . . 50 "
6. Серовато-зеленые туфы . . . . . 10 "
7. Туфороконгломераты . . . . . 20 "
8. Глыбочки, сланцы темно-серого цвета . . . . . 1—2 "
9. Светло-серые пористые порфириты . . . . . 50—80 "

В состав этой же свиты в других местах установлены бальзийские порфириты, паганопорфириты, авгиевые порфириты, трахидезиты и их туфы и туфоректика.

Примерная мощность свиты 400—600 м.

Эффузивы, стагающие свиту, представлены породами зеленоватого, коричневатого, серого, лилового и фиолетового цветов. Встречаются плотные, мелкозернистые, пористые, минда-

лекаменные разновидности. Размеры миндалин от 1 до 4 см. Они окружной, либо эллипсовидной формы. Миндалины выполнены зеленым хлоритовым материалом, кальцитом, кварцем, халиедоном, шабазитом, лесмином.

*Базальтовые порфириты* представляют собой мелкозернистые и скрытокристаллические породы темно-серого, черного цветов. Они сложены плагиоклазом и вторичными — эпидотом, хлоритом, серпинтом. Структура порфиритов порфировая, основной массы — пилотакситовая, флокуационная.

Основная масса базальтовых порфиритов сложена лейстами плагиоклаза, промежутки между которыми заполнены хлоритом, эпидотом. Порфиритовые выделения представлены длинными призматическими кристаллами плагиоклаза.

Плагиоклаз как в основной массе, так и в фенокристаллах интенсивно эпилитизирован и серпинтизирован.

*Плагиопорфириты* наиболее распространены. Это зеленовато-серые, серые породы мелкозернистого сложения с отчетливо видимыми вкрашенниками плагиоклаза. Для них свойственна порфировая структура с пилотакситовой, гиалопилитовой структурой основной массы; текстура миндалекаменная, участками флюидальная.

В состав плагиопорфиритов входят: плагиоклаз, оливин, различные серпинтит, состориг, карбонат, палагонит. Основная масса породы сложена длинными лейстами плагиоклазов, погруженных в бурое раскристаллизованное стекло. В плагиопорфиритах местами наблюдаются пустоты овальной или неправильной-угловатой формы. Они выполнены пеолигитами и палагонитом, образующими волокнистые и радиально-лучистые агрегаты зеленовато-желтого цвета.

Агломераты плагиопорфиритов состоят из обломков плагиопорфиритов и такого же состава цементирующей массы. Структура породы цилиндрово-тактическая. Как в цементе, так и в обломках кристаллы плагиоклаза местами изогнуты.

*Трахидезитовые порфириты* состоят из тонкими удлиненными призмоштоками и лейстами основного плагиоклаза, промежутки между которыми заполнены раскристаллизованным стеклом с мелкими кристаллами альбита и калиевого плавевого шпата. Из вторичных минералов присутствует оливин, который в большинстве случаев замещен плагиоклазом, мелкочешуйчатый агрегат которого повторяет формы оливина. Аксессорные минералы представлены апатитом, магнетитом.

*Авгитовые порфириты* состоят из мелких лейст и призм основного плагиоклаза и небольшого количества раскристаллизованного и хлоритизированного стекла. В отличие от базальтовых порфиритов в основной массе породы в промежутках между лейстами плагиоклаза заключены мелкие призмоштоки авгита. Структура авгиевых порфиритов интэрсергетальная.

Для всех перечисленных разновидностей эффиузивных пород характерно интенсивное развитие вторичных минералов серпентина, соссюрита, альбита и сериита.

Наряду с эффиузивами в составе хилокской свиты принимают участие и осадочные породы — конгломераты, песчаники, алевролиты, которые образуют простой и линз. Мощность от 1 до 10 м.

**Конгломераты** мелогалечные, плохо отсортированные. Обломочный материал характеризуется слабой механической обработкой. Галька конгломератов сложена разнообразными гранитоидами, метаморфическими породами, эффиузивами петропавловской и тамирской свит. Цемент конгломератов песчаниковый, глинисто-песчаниковый, туфогенный, реже эффиузивный.

**Песчаники** аркозовые, полимиктовые, разнозернистые серовато-желтого, серого и зеленовато-серого цвета.

**Алевролиты** имеют светлую, бурую, темно-серую окраску.

Они тонкослоистые массивные. В алевролитах были обнаружены остатки фауны, представленные: *Ferganoconcha subcentralis* F. Scheg., *F. curta* F. Scheg., *F. estheriaeformismis* (Г. Г. Мартинсон).

Возраст хилокской свиты определяется находками приведенной выше фауны, а также и тем, что свита несогласно залегает на породах петропавловской и тамирской свит и, в свою очередь, перекрывается отложениями гусиноозерской серии верхнекирского — нижнемелового возрастов. Следовательно, возраст пород хилокской свиты укладывается в диапазоне от триаса до верхней юры.

Породы смыты дислоцированы в пологие линейные складки северо-восточного простирания. Углы падения на крыльях складок 25—30°.

### Верхний отдел юрской системы — нижний отдел меловой системы

#### *Гусиноозерская серия*

Породы гусиноозерской серии выполняют Хилок-Чикойскую и Субкутуйскую впадины. По генетическим типам это молассы, тесно связанные составом обломочного материала с окружающими кристаллическими массивами и содержащие изменчивое количество угленосных горизонтов. По поводу расположения отложений гусиноозерской серии на самостоятельные провинциальные стратиграфические подразделения имеются различные точки зрения. Большинство исследователей указывают на индивидуальный характер литологического разреза в различных впадинах, на фациальную невыдержанность слоев и пачек, а отсюда и невозможность составления единого стратиграфического разреза для всех впадин.

На основании имеющегося материала, отложения гусиноозерской серии подразделены на две свиты: нижнюю — сангинскую и верхнюю — селептинскую.

**Сангинская свита** ( $J_3$ — $Ст_1$  сл.). Санганская свита сложена конгломератами, гравелитами, песчаниками, которые часто перекрываются между собой, либо обособляются в отдельные мощные горизонты. Состав пород находится в зависимости от состава окружающих и подстилающих их более древних кристаллических образований. Эта зависимость особенно четко проявляется в нижних, базальных горизонтах. По мере удаления от бортов впадины указанная закономерность постепенно затушевывается и, наконец, совсем исчезает.

Величина и окатаенность обломочного материала пород сангинской свиты, характер слоистости и степень сортировки не постоянны. Конгломераты и песчаники имеют между собой тесные взаимопереходы как по вертикали, так и по горизонтали.

Коренные выходы сангинской свиты на изученной территории малочисленны. Они известны в береговых обрывах правобережья р. Чикой, вблизи пос. Усть-Харлун, южнее дер. Береговой на правобережье р. Чикой — западнее пос. Кирган.

В районе пос. Усть-Харлун породы сангинской свиты перекрыты эффиузивами чижейской свиты неогенового возраста; около дер. Береговой они залегают в тектонических блоках среди пород хилокской свиты, а западнее пос. Кирган — слагают блоковое поднятие.

Из-за малочисленности выходов пород свиты на поверхность и почти полного отсутствия коренных отложений, детально составленного разреза свиты не имеется.

**Конгломераты**, лежащие как в основании свиты, так и внутри ее, отличаются большим разнообразием. Конгломераты не сортированы и гальки их плохо окатаны. Обломочный материал распределен без видимой ориентировки. Максимальная величина галек достигает 10 см в диаметре. Состав галек разнообразный и полностью зависит от подстилающих конгломераты пород.

Около дер. Береговой галька конгломератов сангинской свиты состоит из мелафиров петропавловской свиты, реже из кислых эффиузивов тамирской свиты. Очень редко встречается галька палеозойских и мезозойских гранитов.

Галька конгломератов Кирсанского глыбового поднятия представлена породами петропавловской и паган-хултейской свит. В небольших количествах встречаются гнейсы, кристаллические сланцы, гранито-гнейсы. Этот состав конгломератов свидетельствует о преобладающем спое обломочного материала с юга на север.

Цемент конгломератов сангинской свиты песчаниковый, гравелистовый, песчано-глинистый, реже известковый, рыхлый и

плотный. Окраска конгломератов зависит от цемента и цвета гальки. Она бывает темно-серая, лиловато-бурая, светло-серая.

Гравелиты, образующие слой линзы, и прослой средней конгломератов, по составу обломочного материала не отличаются от последних. Они состоят из мелких (от 2 до 10 мм) угловатых обломков, разнообразных по составу и возрасту пород, смешанных песчаниковым, глинистым и известково-глинистым материалом.

Песчаники, наблюдаемые севернее пос. Усть-Харлун, вблизи дер. Береговая, образуют горизонты мощностью до 40 м. Песчаники полимиктовые: арковые, плотные, рыхлые, сплошные, чистые (0,02 м), обуглившиеся остатки растительности. Отчетливо выражена слоистость с углами падения от 20 до 40°.

2. Песчаники светло-серые, мелко- и среднезернистые с про-

стойми алевролитами (5—10 см) и склистого угля. В песчаниках имеются плохо сохранившиеся отпечатки флоры. Угли падения в песчаниках и алевролитах 25—30°.

3. Алевролиты плотные, темно-серые с прослойками светло-серых мелкозернистых песчаников (5—10 см). В алевролитах отмечены отпечатки флоры.

4. Песчаники светло-серые мелкозернистые с прослойками алев-

ролитов.

5. Алевролиты темно-серые с прослойками плотных черных аргил-

литов.

6. Песчаники мелкозернистые, светло-серые, слоистые с флюоритом.

На западной окраине Хилок-Чикойской впадины (Бурдун-

ская степь) вскрыт следующий разрез селенгинской свиты (снизу вверх):

1. Аргиллиты черные с прослойками темно-серых алевролитов и светло-серых мелкозернистых песчаников. Мощность прослоев песчаников 5—10 см. В аргиллитах наблюдаются прослои сажистого угля (0,02 м), обуглившиеся остатки растительности. Отчетливо выражена слоистость с углами падения от 20 до 40°.

51,0 м

11,0

н.

2. Песчаники светло-серые, мелко- и среднезернистые с про-

стойными алевролитами (5—10 см) и склистого угля. В песчаниках имеются плохо сохранившиеся отпечатки флоры. Угли падения в песчаниках и алевролитах 25—30°.

8,0

н.

3. Алевролиты темно-серые с прослойками светло-серых аргиллитов.

4,0

н.

4. Песчаники светло-серые мелкозернистые с прослойками алевролитов.

6,0

н.

5. Алевролиты светло-серые, слоистые с флюоритом.

8,7

н.

6. Песчаники мелкозернистые, светло-серые, слоистые с флюоритом.

12,0

н.

7. Конгломераты мелкогалечниковые. Галька плохо окатана и несортирована.

2,0

м

8. Алевролиты пепельно-серого цвета с прослойками гравелитов.

13,0

н.

9. Конгломераты с галькой до 1 см в диаметре. Цемент песчано-глинистый. Алевролит с прослойками сажистого угля (0,2 м).

5,2

н.

10. Конгломераты мелкогалечниковые, переслаивающиеся с алевролитами.

12,0

н.

Породы селенгинской свиты макро- и микроскопически почти не отличаются от пород сангинской свиты.

Аргиллиты — тонкосланцеватые или массивные одиообразные породы, состоящие из каолина, глинистых минералов, гидрослюд и хлорита. В некоторых разновидностях аргиллитов содержится большое количество мелкораспыленного углистого вещества, придающего породам темно-серую, черную окраску.

Битуминозные сланцы представляют собой разновидность аргиллитов. Они богаты битуминозным веществом и обладают тончайшей слоистостью. Обычно их называют «бумажными» сланцами. Битуминозные сланцы образовались в застagnенных бассейнах, богатых органическим илом планктонного происхождения, и часто содержат отпечатки эстерий, пелепипод, гастropод, насекомых, рыб.

Алевролиты, являющиеся наряду с песчаниками основной составной частью свиты, весьма однотипны. Они окрашены в светло-серые, голубовато-серые, темно-серые цвета. Для них свойственен раковистый или угловатый с матовой поверхностью

В интервале 212—226 м В. М. Скобло в 1950 г. собрана и определена фауна ostracod: *Leiaiana exortis* Mand., *L. ex gr. exortis* (Mand.) *L. striata* Mand., *L. alterna* Scogb., которая,

и злом. Слоистость отмечается не всегда. Она обусловлена сменой различно окрашенных слоев и особенно хорошо выражена при наличии прослоев сажистого угля. Типы слоистости разнообразны — диагональная, встречная, веерообразная.

Алевролиты сложены мелкими частичками (от 0,01 до 0,1 мм)

кварца, полевых шпатов, хлорита, слюда, роговой обманки.

Изредка встречаются отдельные обломки и гальки изверженных пород. При обогащении глинистым материалом алевролиты переходят в глинистые сланцы, а обогащенные кварцем — в тонкозернистые песчаники.

Песчаники представлены светлыми кварц-полевошпатовыми и более темными арковыми и редко полимиктовыми разновидностями. Они слагают однородные горизонты мощностью до 30—40 м и резко отличаются от граничящих с ними алевролитов и аргиллитов. В мощных песчаниковых горизонтах наблюдается чередование кососложистых и параллельно слоистых серий. Имеются сложные типы косой слоистости — диагональная, многоэтажная, косая и др. Песчаники то рыхлые, то крепко cementированные. Цемент песчаников — глинистый, карбонатный, железистый, железисто-хлоритовый, кремнистый. Степень cementации различна даже в одном горизонте. Харacterным для песчаников является наличие округлых конкреций — мергелистых, сидеритовых, известковых.

Генетически разнообразные песчаники представляют собой дельтовые, речные, (пойменные и руслоевые) и лишь в небольшой части озерные отложения.

Кластический материал в песчаниках представлен преимущественно кварцем, калиевым полевым шпатом, плагиоклазом, биотитом, мусковитом, магнетитом, пирконом, турмалином, эгибитом и в небольшом количестве обломками фельзитов, плагиогранитов. Структура песчаников паммитовая. Конгломераты, слагающие маломощные горизонты и прослой, обычно мелкогалечные с глинистым, карбонатным и песчано-глинистым цементом. Галька конгломератов хорошо окатана и отсортирована. Они сложены разнообразными гранитоподами и эффицивами петрографовской и пачан-кунгейской свит.

Угли составляют важную часть разреза селенгинской свиты и встречаются в разных местах его. Мощность пластов и прослой угля колеблется от 0,1 до 7 м (Стругов, 1946). Угли гумусовые, полосчатые, реже однородные, бурые. Они подразделяются на флюзеновые, кипловигреновые, вигреновые, klarено-

мощность селенгинской свиты изменчива и колеблется от 400 до 800 м.

Породы гусиноозерской серии смяты в складки северо-восточного простирания, осложненные перегибами, разломами.

Относительно возраста отложений гусиноозерской серии в настоящее время среди геологов единого мнения не существует.

В последнее время некоторые исследователи, в том числе и В. М. Скобло (1960), относят ее к раннемеловому возрасту.

### Кайнозой

Кайнозойские отложения занимают более 50% площади листа М-48-XVII. Они представлены эффицивами и осадочными образованиями неогеновой и четвертичной систем.

Эффицивая деятельность в кайнозое протекала как в неогене, так в начале четвертичного периода. К кайнозою относятся и краснопетровые образования талогайской свиты, сформировавшиеся между двумя этапами эффицивой деятельности кайнозоя.

### Неогеновая система

Цежейская свита (№ сэ). Эффицивы цежейской свиты широко распространены на территории листа М-48-XVII. Впервые в Западном Забайкалье (бассейн р. Джиды) они были описаны П. И. Налетовым и К. А. Шалаевым в 1932—1933 гг.

На исследуемой территории цежейская свита развита в Калининском хребте, где она слагает крупный покров, вытянутый в северо-восточном направлении. Длина его 30 км, ширина 16—17 км. Значительно меньшие по площади покровы встречаются в Междууречье Джиды и Селенги и на правобережье р. Чиркоя (севернее пос. Усть-Харлун.).

В составе цежейской свиты различаются лильевые, розовато-серые, черные и бурые эффицивы. Текстура эффицивов миндалекаменная, пористая, реже массивная. Формы миндалин и тор очень разнообразны: овальные, округлые, угловатые, изометричные.

Породы цежейской свиты слагают покровы, состоящие из ряда потоков небольшой мощности. Отдельные потоки отчетливо отделяются друг от друга по текстурным признакам пород. Установлена приуроченность черных поликристаллических разновидностей эффицивов к центральным частям потоков. В краевых частях покровов эффицивы сначала переходят в плотные серовато-бурые базальты, а затем в вулканические лавы. Мощность отдельных потоков весьма разнообразна от 50 до 60 м.

Суммарная мощность всей цежейской свиты 300—400 м. В скважине, расположенной северо-восточнее пос. Усть-Кяхта, наблюдался слепущий (пепольный) разрез свиты (снизу вверх):

1. Базальты разрушенные	16,75 м
2. Базальты пористые серовато-зеленые	4,95 "
3. Базальты плотные	18,2 "

4. Базальты пористые	2,5 "
5. Базальты миндалекаменные	3,2 "
6. Базальты пористые	3,5 "
7. Базальты черные плотные	10,4 "
8. Базальты пузыристые	17,2 "

Кроме покровных фаций в составе цежейской свиты наблюдались суббутиканические фации. В районе пади Соленой (окрестности оз. Кира) гравиметрической съемкой масштаба 1 : 50 000 и буремием обнаружено пластовое тело типа силла, сложенное трахидолеритами, которое залегает в песчаниках гусинозерской серии (Ишукова, 1954). Кроме того, здесь же отмечена дайка трахидолеритов мощностью до 15 м, прорывающая породы петропавловской свиты.

Цежейская свита сложена одиобразными по составу породами. Они представлены шелочными базальтами, долеритами, андезито-базальтами и другими близкими им разновидностями. Трахидолериты внешне представляют собой лиловые, розово-серые, серые породы. Структура трахидолеритов порфировая, в основной массе трахитоидная, гиалопилитовая, микродиабазовая, интерсертальная, микропойкилитовая; текстура — миндалекаменная, реже пористая.

Среди трахидолеритов различаются оливиновые и безоливиновые разновидности. Главным породообразующим минералом трахидолеритов является плагиоклаз, представленный андезином лабрадором. Он встречается во вкраепленниках и слагает основную массу породы. Плагиоклаз во вкраепленниках имеет зональное строение, выраженное отростками альбита или андезина. В небольших количествах в трахидолеритах присутствует ксенофорфный калиевый полевой шпат.

Из темноцветных минералов в трахидолеритах отмечены апатитом и титан-авгит; акцессорные минералы представлены апа-

титом и сфером.

*Traходолериты*. Макроскопически они отличаются от трахидолеритов черной окраской и плотным массивным сложением. Структура трахидолеритов долеритовая, офитовая, пойкилитовая, интегрануллярная.

Минералогический состав трахидолеритов близок к трахидолитам. Основным породообразующим минералом их является плагиоклаз (лабрадор № 53—54). Он образует крупные призмы, промежутки между которыми заполнены оливином или моноклинным пироксеном. Калиевый полевой шпат встречается сравнительно редко.

Темноцветные минералы слагают до 50% всей массы породы и представлены титан-авгитом, оливином, редко биотитом. Из акцессорных отмечаются апатит и рудный минерал.

*Андезито-базальты* по своеобразному минералогическому составу выделяются в отдельную группу пород. Это светлоокра-

щенные поликристаллические эффиузы, состоящие в основном из плагиоклаза. Они имеют порфировую структуру с гиалопилитовой, микролитовой, трахитоидной структурой основной массы. Порфировые вкраепленники представлены призмами андезина; основная масса — сложена беспорядочно ориентированными тонкими призмочками плагиоклаза. В случае трахитоидной структуры плагиоклазы имеют грубо параллельную ориентировку.

В незначительных количествах и не всегда в андезито-базальтах присутствует оливин и еще реже биотит и моноклинный пироксен. Аксессорные минералы представлены апатитом и рудным минералом.

*Гиалобазальты* от описанных выше эффиузивов отличаются высоким содержанием нераскристаллизованного стекла. Гиалобазальты гиалопилитовой и афонитовой структуры, миндалекаменной текстуры.

В отдельных разновидностях базальтов содержится до 80—90% вулканического стекла. В небольших количествах в гиалобазальтах отмечены микролиты плагиоклаза и короткостолбчатые кристаллы моноклинного пироксена.

Для всех разновидностей эффиузивов цежейской свиты характерно наличие миндалин. Формы миндалин округлые, угловатые с глубокими заливчиками. Они выполнены палагонитом, хлоритом, агрегатом гидрослюд, шеолитами и испандским шпатом, образующими местами значительные концентрации.

Этимагматические изменения в породах цежейской свиты незначительны. Они выражались в слабой пелитизации плагиоклазов и в слабой раскристаллизации вулканического стекла.

Эффиузы цежейской свиты по химическому составу относятся к нормальному ряду пород, сильно недосыщенных кварцем и со значительным уклоном в сторону шелочных пород. Возрастное положение цежейской свиты окончательно не установлено. По имеющимся наблюдениям она лежит на породах гусинозерской серии юрско-мелового возраста и перекрывается красноцветными отложениями ( $N-Q_1$ ).

Учитывая, что в аналогичных эффиузы, распространенных в Читинской обл. и описываемых под плаваннем чунгурской свиты найдены растительные остатки пеогеновой флоры, цежейская свита условно относится к неогену.

#### *Неогеновая система — нижний отдел четвертичной системы*

*Талогорская свита* ( $N-Q_1 tI$ ). Наиболее древними осадочными отложениями кайнозойской эры на территории пласта М-48-XVII являются красноцветные отложения. Они представлены делювиально-пролювиальными и реже пролювиальными фациями, бурьими, красно-бурыми пластичными и супесчанистыми глинами, песками и супесиями.

Красноцветные отложения неогенового возраста впервые были описаны П. М. Клевенским (1933—1935). Значительное позднее их изучением занимался Л. Н. Иваньев, который собрал остатки разнообразной фауны млекопитающих.

Эти отложения для Юго-Западного Забайкалья являются своеобразным маркирующим горизонтом кайнозойских отложений.

На описываемой территории породы пользуются широким развитием, но они перекрыты мощным чехлом четвертичных отложений и поэтому выходы их на дневную поверхность известны лишь в трех местах: южнее дер. Береговой, в районе г. Кяхты и на левобережье р. Джиды (гора Болдок).

Красноцветные отложения в большинстве случаев приурочены к окраинам мезо-кайнозойских впадин, где они лежат на поверхности размыва пород чекайской свиты, на отложениях гусиноозерской серии и реже на докембрийских кристаллических сланцах и гнейсах.

Наиболее полно и детально разрез описываемых отложений изучен южнее дер. Береговой. По определению Л. Н. Иваньева (1960), он выглядит так (снизу вверх):

1. Современная почва, состоящая из слабо гуминированного песка	0,5 л.
2. Песок мелкозернистый желтого цвета	1,0 "
3. Глина красная песчанистая, встречаются осколки костей млекопитающих	"
4. Суглинок красная мелкозернистая слюдистая с включениями мелкой щебени, древесного угля, известковистых журавчиков и прослойками покрытенных почвы	0,25—0,5 м
5. Песок мелкозернистый горизонтальнослойственный красновато-желтого цвета	"
В тонком прослое суглинистой глины обнаружены костные остатки млекопитающих: <i>Ochotonota</i> sp., <i>O.</i> (cf. <i>extincta antifigas</i> ), <i>Citellus</i> sp., <i>Antilaspis</i> cf. <i>Zdanski</i> (?) <i>Yazella</i> cf. <i>gutturata</i> <i>Pall.</i> , <i>Cervus</i> sp., <i>Diceratherinus</i> sp., <i>Ursus</i> sp., <i>Hyaena</i> sp., <i>Hippotigris</i> sp. Присутствие гиппарлоновой фауны позволяет определить время отложения этого горизонта. Аналогичные отложения вскрыты буровыми скважинами в окрестностях оз. Кирал. Здесь они имеют мощность от 12 до 35 м и представлены красно-бурыми глинами, супесями, суглинками и песками. По буровым скважинам здесь установлен слепо-ующий разрез (снизу вверх):	4,0—5,5 "

красно-бурыми глинистыми песками с конкрециями карбонатов и шебнем (до 20%).

При правобережье р. Джильт свига имеет следующий разрез (снизу вверх):

1. Алеврит красно-бурый	1,15 м
2. Песчаник слабо спекченитированный известковистый с большими количеством обломков метаморфических пород	1,0 м
3. Глинистая красно-бурая песчанистая с маргандцевистыми конкрециями	2,0 "
4. Глина красно-бурая с примесью песка (до 10%)	80 "
5. Глина красно-бурая с древесиной и щебенкой гранито-гнейсовыми лесками, спекленитированными карбонатом	1,0 "
6. Древесина переслаивающаяся с глинистыми красноцветными глинами	10,0 "
7. Обломки делювия, состоящие из гранито-гнейсов, гранито-гнейситов, порфиритов	10,0 "
8. Песок средизернистый кварц-полевошпатовый желтого цвета	8,6 "
9. Песок глинистый с древесиной и щебенкой	0,5 "
10. Суглиник серовато-желтого цвета со щебенкой	5,5 "
11. Делювий, состоящий из обломков порфиритов, гранито-гнейситов	9,5 "

Условия залегания краснощетов, приуроченность их к окраинам владин, своеобразный красный и красно-бурый цвет, налипие дресвы и щебенки — все это вместе взятое позволяет считать их субаэральными образованиями, возникшими в условиях жаркого, сухого климата.

Базиль Ги (B N-Q<sub>1</sub>)

Базальты пользуются ограниченным распространением. Они развиты на левобережье р. Джиды, на правобережье р. Чикоя. Небольшие их покровы площадью  $0,3 \times 0,4$  км наблюдались на северо-западных склонах Хилок-Чикойской впадины.

Базальты слагают гиги, покровы, лакколиты, дайки. На правобережье Чикоя известны два потухших вулкана, в настоящее время сильно разрушенные, но еще хорошо выраженные в рельфе.

Лакколиты базальтов установлены в Хилок-Чикойской впадине. В них хорошо наблюдаются признаки течения, углы на склонах которых зависят от характера дебазальтового рельефа и определяются от  $5$  до  $40^\circ$ .

Далеки базальты встречаются редко. Они секут осадочные породы гусинозерской серни и эффузивы хилокской свиты и яв-

Мелкие полводящими каналами потоков. Среди базальтов преобладают плотные, мелко- и среднекристаллические разновидности, менее распространены пористые и миндалекаменные. Миндалини в базальтах выполнены цеолитами, халцедоном, карбонатом

Юго-западнее г. Кяхты (карьер кирпичного завода) красно-цветные отложения имеют мощность 5–7 м и представлены

ностей в пространственном распределении этих разновидностей не замечено.

*Оливиновые базальты* имеют все переходы от стекловатых до полнокристаллических. Им присуща витрофировая, гиалопиплитовая, интерсертальная и пиготакситовая структуры. Основная масса базальтов сложена мелкими лейстами плагиоклазов (основных), оливином, сттолбчатыми и иглоточечными кристаллами авгита. Стекло, являющееся постоянным компонентом, присутствует в различных количествах. Порфировидные вкраепленниками служат плагиоклаз, авгит, оливин. Из второстепенных минералов отмечены биотит, роговая обманка, магнетит.

В базальтах, богатых стеклом, биотит встречается редко. *Безоливиновые базальты* встречаются реже и влечеие весьма схожи с описанными выше. Преобладающими структурами их являются пилотакситовая, интерсертальная, гиалопилитовая; текстура миндалекаменная, массивная. Основная масса породы сложена мелкими лейстами плагиоклаза (56%), широксена (40%), магнетита (10%), апатита. Вкраепленники встречаются редко и обычно представлены плагиоклазом.

В некоторых разновидностях безоливиновых базальтов существует стекловатый базис, в разных количествах, обычно сильно окжелезненный темно-бурый, почти черный. Аксессории представлены игольчатыми кристаллами апатита.

По данным химических анализов, базальты имеют повышенное содержание алюминий-лигнитов и являются типичными щелочными натриевыми эффиузивами.

Базальты залегают на красноцветных отложениях (N—Q<sub>1</sub>) (Турунтаев, 1955) и перекрываются отложениями четвертичной системы.

#### Четвертичная система

Четвертичные отложения развиты повсеместно. Максимальная мощность четвертичных отложений приурочена к долинам рек Селенги и Чикоя (до 120 м), а минимальная — к склонам и водоразделам хребтов.

Основными генетическими типами четвертичных отложений являются элювиально-делювиальные, пролювиально-делювиальные, коллювиальные, аллювиальные, озерно-аллювиальные, озерные и золовые.

На основании многочисленных находок фауны четвертичные отложения подразделяются: на нижний и средний (неразделенные), верхний и современный отделы.

#### Нижний и средний отделы неразделенные (Q<sub>1+2</sub>)

Эти отдельы представлены озерно-речными отложениями, широко развитыми в пределах Хилок-Чикойской впадины, за паднее г. Кяхты и на правобережье р. Джиды, где они пере-

крыты закрепленными песками. Они представлены мелкозернистыми песками с прослойями и линзами галечников, рече глини. Мощность озерно-аллювиальных отложений измеряется от 10 до 100 м. Наиболее полю их разрез представлен в правом борту р. Мелкими. Здесь они представлены одиобразной толщей мелкозернистых песков светло-серого и желтовато-серого цвета. с отчетливо выраженной горизонтальной слоистостью. Пески мелкозернистые, глинистые со среднеокатанными зернами. Минералогический состав песков: полевой шпат и кварц (95%), магнетит (3%), биотит, амфибол, эпидот, турмалин, широкон, сфеин, апатит.

Возрастное положение озерно-аллювиальных отложений определяется тем, что они залегают на красноцветных отложениях (N—Q<sub>1</sub>) и перекрываются фаунистически охарактеризованными отложениями верхнего отдела.

#### Средний и верхний отделы (Q<sub>2+3</sub>)

Эти отдельы представлены древнеаллювиальными отложениями р. Джиды. Распространены на левобережье р. Джиды и представлены галечниками, песками, реже глинами. Мощность отложений 50—80 м.

#### Верхний отдел (Q<sub>3</sub>)

Отложения этого отдельа по генезису делятся на: золовые делювиально-пролювиальные, аллювиальные. Между этими генетическими типами резких границ не существует.

*Закрепленные золовые пески.* Эти отложения широко раз виты на правобережье р. Чикоя и восточнее ст. Наушки. Типичные формы рельефа, образуемого песками — бугры, гряды, поросшие сосновым лесом. Мощность закрепленных песков — 5—30 м.

Пески желто-серые, мелко- и среднезернистые, хорошо отсортированные. Они состоят преимущественно из кварца и полевого шпата. Для песков свойственна перекрестная слоистость с разными углами падения.

В закрепленных золовых песках во многих местах найдена скопления страусовых яиц (ж. д. ст. Харанхой, деревни Улентуй, Гужиргуй и др.). Эти находки позволяют закрепленные золовые пески отнести к позднему плеистоцену или нижнему голоцену.

#### Делювиально-пролювиальные отложения

развиты главным образом на склонах и вдоль подложий хребтов, по окраинам тектонических впадин. Они представлены супесями, суглинками, лессовидными образованиями с прослойями и линзами дресвы и щебенки.

Супеси и суглинки имеют различную окраску: серо-бурую, серо-желтую, местами ярко-желтую, розовато-белую и белую, даже черную. Наряду с плотными разновидностями встречаются пористые, содержащие вышеты солей.

Для лессовидных образований характерно почти полное отсутствие слоистости, наличие известковистых конкреций (журавчиков). Они состоят из алевритовых (0,1—0,01) угловатых зернышек кварца, полевого шпата (50—70%), глинистого материала (20—50%), а также вешенства (5—10%) и окислов железа.

Во многих пунктах — ст. Хараахой, г. Кяхта, сел. Усть-Кяхта, дер. Береговая и др. в супесях и суглинках собрана фауна ископаемого зубра, шерстистого носорога, горного барана, козла, кулана, антилопы, лошади, первобытного быка, гигантского оленя, скорлупа яиц *Struthio* sp. (П. И. Налетов, 1960).

*Алевитовые отложения* верхнего отдела известны на левобережье р. Чикой, южнее дер. Усть-Кираан, и на правобережье р. Селенги, в окрестностях ст. Наушки, где они слагают 10—40-метровую террасу.

Алевитовые отложения представлены галечниками и песками. Галечники сложены хорошо окатанными гальками размером от 2 до 5 см в диаметре; пески мелковзернистые желтовато-серого цвета.

В аналогичных отложениях в Монгольской Народной Республике собраны кости млекопитающих: *Eguus caballus*, *D., Eguus Cifatus* sp., *Ochotona* sp. (Маринов, 1957).

#### Современные отложения (Q<sub>4</sub>)

Современные отложения отчетливо подразделяются на аллювиальные отложения пойм и террас нижнего комплекса, золотые пески, озерно-болотные отложения, проловиальные отложения днищ сухих падей и оврагов. Все эти отложения поддерживают остатки современного фаунистического комплекса мелкопитающих и растительных культур железного века.

*Алевитовые отложения*. Литологически они представлены галечниками, песками, реже суглинками и глинами, которые не выдержаны как в горизонтальном, так и в вертикальном направлениях.

Наибольшую мощность отложения этого типа достигают в долинах рек Селенги и Чикоя, где она превышает 100 м.

*Эоловые пески* развиты по склонам долин рек Селенги и Чикоя, а также и в Хилок-Чикойской впадине. Пески залегают на разных элементах рельефа и гипсометрических уровнях. Они стягают бугры и гряды, реже барханы. Бугры и гряды ориентированы на северо-запад, согласно направлению господствующих ветров.

Пески светло-серые, желто-серые, мелко- и среднезернистые, хорошо отсортированы и состоят из кварца и полевого шпата, в небольших количествах имеются слюда и рудный минерал.

*Озерные отложения* приурочены к современным бессточным озерам (Кирсан, Тухум и др.) и представлены песками, глинами, илами (киранские лечебные грязи) и химогеническими осадками — мирабилитом, содой. Наблюдаемая мощность отложений 1—5 м.

*Проловиальные отложения днищ, сухих падей и оврагов* представлены фации конусов выноса и сухих дельт. Они разбиты в мелких сухих долинах и оврагах, в верховьях небольших речек. Проловиальные отложения сложены песками, супесями, суглинками, дресвой и щебенкой. Дресва и щебенка обычно приурочены к низам разреза.

### ИНТРУЗИВНЫЕ ОБРАЗОВАНИЯ

В геологическом строении района интрузивные породы занимают подчиненное положение; они слагают около 20% изученной площади.

На современной стадии изученности в пределах площади листа М-48-ХVII выделяются хамар-лабанский, джилинский, мало-куналейский и хурай-байбинский интрузивные комплексы.

#### Хамар-лабанский интрузивный комплекс

Гранитоиды хамар-лабанского интрузивного комплекса являются наиболее древними образованиями района. Они развиты на северных склонах Бургутуйского хребта, в районе ст. Наушки и на северных и южных склонах хр. Джидинского.

Характерной особенностью гранитоидов этого комплекса является их гнейсовидность. Направление гнейсовидности в гранитоидах в большинстве случаев совпадает с элементами залегания вмещающих их горных пород.

Хамар-лабанские гранитоиды прорывают метаморфические городы Хангар-Ульской и Боргойской свит условно протерозойского возраста и на основании этого возраста их условно определяется как протерозойский. По составу и внешним признакам они хорошо сопоставляются с гранитоидами, развитыми в Загапском хребте.

Контакты интрузивов хамар-лабанских гранитоидов с вмещающими породами, как правило, согласные, пологие.

Гранитоиды участвовали в складчатых процессах и, следовательно, относятся к синорогенным образованиям.

В составе комплекса выделяются разgneйсованные лейкократовые, болотовые, болото-рогообманковые граниты, граносланцы, гнейсто-граниты, диориты и габбро-диориты.

Каких-либо закономерностей в размещении названных выше разновидностей не подмечено; довольно часто они имеют между собой взаимопереходы.

Все гранитоиды, как правило, катаэлализированы и нередко милонитизированы.

*Лейкократовые гнейсированные граниты* ( $\gamma$ Pt) слагают небольшие массивы на южных склонах хребта Джидинского, в верховьях пади Нижний Булык, в окрестностях с. Наушки. Это розовые, светло-розовые породы преимущественно среднезернистого сложения. Они состоят из кварца (35—40%), кальевого полевого шпата (40%), плагиоклаза (10—15%) и небольшого количества биотита. Им свойственны гранитовая, гипидиоморфозернистая, альгитроморфозернистая, участками микролегматитовая структуры. Из аксессориев отмечены сфеен, рулльный минерал, гранат, вторичные минералы представлены серицитом, лейкоксеном, пеллитом.

*Гранито-гнейсы* ( $\gamma$ Pt) мелко- и среднезернистые породы светло-серого и розовато-серого цвета с резко выраженной гнейсовой, полосчатой, сланцеватой или очковой текстурой. Главными породообразующими минералами гранито-гнейсов являются: калиевый полевой шпат (30—50%), плагиоклаз (10—46%), кварц (20—25%), биотит (5—6%), мусковит (3%), роговая обманка (2—5%).

Структура гранито-гнейсов гипидиоморфозернистая, гранобластовая и гранолепидобластовая. Темноцветные компоненты ориентированы согласно общей сланцеватости пород, подчеркивая гнейсовидную текстуру гранитоидов.

Гранито-гнейсы довольно сильно перекристаллизованы и окварцованны, интенсивно затронуты динамометаморфизмом, приведшим к милонитизации, особенно в зонах разломов. Структура измененных гранито-гнейсов порфиробластовая, блестящая, текстура — сланцеватая, очковая.

*Граносиениты* ( $\gamma$ Pt) слагают довольно мощное пластовое тело в породах боргойской свиты на левом склоне пади Стари Капчераанга. Это светло-серые, серые с кремовым оттенком мелко- и среднезернистые породы, почти целиком состоящие из кальевого полевого шпата и альбита — олигоклаза, в небольших количествах присутствуют мелкозернистый агрегат кварца и единичные чешуйки мусковита и биотита. Структура пород гипидиоморфозернистая.

*Диориты, габбро-диориты* ( $\delta$ Pt) образуют ряд мелких выходов на правом склоне пади Лекарской, на востораделе падей Капчераанка и Суктуй, в окрестностях горы Цаган-Нур, на правобережье р. Селенги, севернее пос. Хараной. Вмещающими их породами являются гнейсы и зеленые ортосланцы, в которых они образуют пластовые тела.

Макроскопически это породы серого, темно-серого, иногда

почти черного цветов, среднезернистого сложения и массивной гнейсовидной текстуры, иногда с пятилистым расположением темнопетиных минералов.

Диориты и габбро-диориты имеют довольно близкий минералогический состав и отличаются содержанием кварца.

Текстура пород гнейсовидная, реже пятнистая, сланцеватая, массивная; структура порфировидная, переходная к гипидиоморфозернистой, призматической зернистая, переходящая в гранобластовую, в катаэлализованных разновидностях — катаэластическая, бластиоцементная.

В составе пород отмечены: плагиоклаз (30—70%), роговая обманка (15—60%), биотит (до 20%), кварц (1—8%), калиевый полевой шпат (до 8%). Аксессорные минералы представлены сфееном, апатитом, рудным минералом.

Диориты и габбро-диориты, по-видимому, имеют гибридное происхождение, на что указывает кучное расположение темно-цветных компонентов, отсутствие характерных для основных пород структур и приоксенона.

*Пегматиты* ( $\rho$ Pt). К жиловой фазе хамар-лабанского комплекса условно отнесены пегматиты.

Пегматиты образуют пологопадающие, реже кругопадающие жилы, часто не выдержаные по простирианию и по падению. В одних случаях они пластовые, в других — секущие. Мощность жил от 30 см до 12 м, протяженность от десятков до сотен метров.

Форма жил неправильная, для них свойственны многочисленные раздувь, перекимы, гнезда, линзы, апофизы.

В состав пегматитов входят: кварц, микроклин и редко плагиоклаз; второстепенные минералы представлены биотитом, магнетитом, марцитом, альбитом, роговой обманкой, окислами железа, гранатом, мусковитом, серицитом, хлоритом, каолинитом, а также турмалином, мусковитом, бериллом, кильбергитом. По структуре пегматиты подразделяются на пегматоидные и пегматиты с письменной структурой.

В пространственном распределении пегматитов различного состава намечается некоторая закономерность. Так, в центральной части района, имеющего наибольший глубокий эрозионный срез, пегматиты наиболее распространены и в своем составе имеют турмалин, гранат, берилл (высокотемпературные минералы). По периферии Бургутуйского хребта пегматиты кварцитовые и полевошпатовые и немногочисленны. В ряде случаев пегматитовые жилы переходят в кварц-полевошпатовые и кварцевые.

#### ПАЛЕОЗОЙСКИЕ ИНТРУЗИИ

##### Джидинский интрузивный комплекс

К этому комплексу отнесены небольшие массивы гранитоидов, расположенные на юго-западном склоне Боргойского хребта и на правобережье р. Селенги около устья р. Джиды.

Небольшой массив гранитоидов на юго-восточном склоне Боргойского хребта ориентирован в северо-восточном направлении и занимает площадь 1—1,5 км<sup>2</sup>. Он сложен средне- и неравномернозернистыми биотитовыми гранитами и граносиенитами, имеющими между собой постоянные переходы. Для них характерна серая, желтовато-серая окраска, массивная, иногда порфировидная структура, а также большое содержание молочно-белого или полупрозрачного кварца, который отчетливо выделяется на розовом фоне породы.

Главными породообразующими минералами гранитов являются: калиевый полевой шпат (30—45%), плагиоклаз (15—20%), кварц (20—35%) и небольшое количество биотита. Аксессорные минералы представлены сфеном, магнетитом. Структура гранитов гипидиоморфнозернистая или аллотриоморфнозернистая. Граносиениты отличаются от гранитов меньшим содержанием кварца (5—20%).

Массив на правобережье р. Селенги сложен граносиенитами, отличающимися по составу и внешнему облику от описанных выше. Они среднезернистого сложения, розовато-красного цвета. Минеральный состав граносиенитов: калиевый полевой шпат (от 35 до 45%), плагиоклаз (от 20 до 25%), роговая обманка (10%), биотит (10%), кварц (от 5 до 15%) и аксессории — апатит, сфеен, циркон. Эпимагматические минералы представлены альбитом, хлоритом, серцитом. Структура граносиенитов гипидиоморфнозернистая.

Аналогичные граносиениты в пределах Боргойского хребта прорывают нижнекембрийские породы боргойской свиты пермской и перекрываются эфузивами петропавловской свиты триасового возраста (Сагалуев, 1959). Но не исключена возможность, что они могут оказаться и мезозайскими, так как весьма сходные граниты встречаются в составе бичурского интрузивного комплекса триасового возраста (Новиков, 1960).

## ТРИАСОВЫЕ ИНТРУЗИИ

### Мало-куналейский интрузивный комплекс

Впервые комплекс гранитоидов щелочной интрузии в Западном Забайкалье был выделен в 1952 г. П. И. Налетовым.

В описываемом районе гранитоиды этого комплекса слагают небольшие штоки в хр. Джиликском на правом берегу р. Чикой и в окрестностях оз. Кираи. В плане щелочные гранитоиды слагают вытянутые в северо-восточном направлении овальной формы тела, площадью от 1 до 4 км<sup>2</sup>. Гранитоиды комплекса прорывают метаморфические породы протерозоя и эфузивы петропавловской свиты и связанны, по-видимому, с древними разломами.

Характерными особенностями щелочных гранитоидов являются: спрениевые и пепельно-серые тона окраски; наличие миарилитовых пустот, иногда выполненных шестоватыми кристаллами кварца, цепочкой роговой обманки и эгирина; присутствие флюорита; отсутствие протокластических структур.

На изученной территории выделяются следующие фациально-разновидности гранитоидов: лейкократовые сиениты и граносиениты, роговобоманковые (арфведсонитовые) щелочные сиениты.

*Лейкократовые сиениты и граносиениты* (ГТ) слагают центральную часть интрузива, расположенного на западном склоне горы Малый Кумыл, и небольшие участки интрузивов, разбитых в верховых пади Нижний Булык.

Макроскопически это массивные мелко- и среднезернистые породы пепельно-серого и спрениевого цвета. Для них свойственен общий лейкократовый облик, но иногда на отдельных участках наблюдается скопление темноватых минералов. Характерными структурами для них являются гипидиоморфнозернистые, аллотриоморфнозернистые. Сиениты состоят из микроклина и микроклин-пертита, интенсивно пелитизированных и альбитизированных.

Кварц встречается в единичных зернах. Биотит — в виде мелких чешуек бурого цвета, иногда образующих гнездообразные скопления. Второстепенными минералами сиенитов являются единичные зерна плагиоклаза и пироксена.

Аксессорные минералы представлены апатитом, сфееном, цирконом, титаномагнетитом; вторичные — пелитом, лимонитом, лейкоксеном, эпидотом, хлоритом.

Граносиениты отличаются от сиенитов присутствием кварца от 10 до 15%.

*Роговообманковые щелочные сиениты* (ГТ) преимущественно развиты в Джилинском хребте. Они представляют собой желто-вато-серые средне- и крупнозернистые породы порфировидного сложения и состоят из микроклина или микроклин-пертита.

Темноцветные минералы представлены роговой обманкой (арфведсонитом, эгирином) и обыкновенной роговой обманкой. Как правило, темноцветные компоненты сильно разрушены и замещены эпидотом. Кроме того, широко проявляется процесс опацитизации.

Второстепенные минералы представлены плагиоклазом, гиросенитом, кварцем, аксессорные — рудным, апатитом, сфееном, цирконом; вторичные — пелитом, лимонитом, лейкоксеном, эпидотом, хлоритом.

Структура пород гипидиоморфнозернистая и аллотриоморфнозернистая.

Краевой фацией описанных выше сиенитов и граносиенитов являются субшелочные и щелочные мелкозернистые граниты и сиениты.

Макроскопически это зеленовато-серые и розовато-серые породы порфириевидной структуры с афантитовой основной массой. На фоне мелкозернистой массы выделяются крупные вкрапленники розового полевого шпата.

Мелкозернистые граниты ( $\gamma$ T) состоят из калиевого полевого шпата и кварца, в небольших количествах присутствуют биотит и пироксен. В основной массе равномерно рассеян рудный минерал. Шелочные темноцветные компоненты в них отсутствуют.

Вкрапленники в гранитах сложены калиевым полевым шпатом и кварцем; основная масса представлена аллотриоморфно-

зernистым агрегатом кварца и полевого шпата.

Структура гранитов порфирировая с криокристаллически-

альной структурой основной массы.

Мелкозернистые сиениты ( $\xi$ T) отличаются от гранитов тем, что в их составе (во вкрапленниках и в основной массе) преобладающее значение занимает калиевый полевой шпат,

а также эгирин, и шелочная роговая обманка.

Сельвбэргиты ( $\chi$ T). Дайковая фаза шелочных гранитоидов представлена сельвбэргитами, дайки которых встречаются в окрестностях оз. Киран. Сельвбэргиты мелкозернистые и скрыто-кристаллические породы с порфирировыми выделениями полевых шпатов. Они сложены калиевым полевым шпатом, шелочным амфиболом, эгиритом, биотитом. Структура порфирировая, основной массы — трахитовая.

Характерными петрохимическими особенностями пород малокуналейского комплекса являются: повышенная шелочность пород; почти полное отсутствие известково-натриевого полевого шпата, наличие щелочных амфиболов и эгирина.

Гранитоиды мало-куналейского комплекса прорывают и метаморфизуют нижнетриасовые отложения петропавловской свиты, а галька их встречена в юрско-меловых отложениях гусиноозерской серии. Абсолютный возраст аналогичных шелочных гранитов хр. Цаган-Дабан установлен в 175—180 млн. лет. На основании этих данных, возраст шелочных гранитоидов определяется как трисовский.

#### МЕЛОВЫЕ ИНТРУЗИИ

##### Хурай-байбининский дайковый комплекс

К этому комплексу отнесены немногочисленные дайки микролитигитов, диоритовых порфиритов, сиенито-диоритов, вогезитов, олинитов, керсантитов, которые сеют эффузивы триасового возраста. Верхняя возрастная граница их неизвестна.

В соседних районах эти дайки рвут отложения гусиноозерской

серии (Налетов, 1941). Поэтому возраст лайковых пород условно определяется как меловой.

Простирание даек преимущественно северо-восточное, реже северо-западное.

Микродиориты и диоритовые порфириты ( $\xi$ ДСг). Диоритовые порфириты от микродиоритов отличаются присутствием вкрапленников плагиоклаза. В остальном их минералогический состав одинаков. Макроскопически это темно-серые с зеленоватым оттенком породы массивного сложения.

Главными породообразующими минералами являются: плагиоклаз и темноцветные компоненты — роговая обманка и биотит. Аксессорные минералы представлены сфеном, апатитом, рудным минералом; вторичные — серицитом, хлоритом, эпидотом.

Структура диоритовых порфиритов и микродиоритов порфирировая с гипидроморфнозернистой структурой основной массы.

Сиенито-диориты ( $\xi$ ДС) внешне не отличаются от микродиоритов. По составу же отличаются значительным содержанием калиевого полевого шпата наряду с плагиоклазом и темноцветными минералами. В сиенито-диоритах, кроме роговой обманки, в небольшом количестве присутствует пироксен. Из аксессорных минералов отмечены апатит, пирокон, вторичные минералы представлены хлоритом, эпидотом.

Вогезиты ( $\psi$ Сг) довольно часто встречаются в изученном районе. Крупная дайка их отмечена на правом склоне пади Соленои (окрестности оз. Киран). Протяженность дайки около 150—200 м. Простирание ее северо-восточнее  $50^{\circ}$ , падение на северо-запад под углом  $35^{\circ}$ .

Вогезиты состоят из калиевого полевого шпата и плагиоклаза (среднего по составу), амфибала и пироксена. Порфировые вкрапленники представлены калиевым полевым шпатом, плагиоклазом, роговой обманкой. Структура вогезитов порфирировая с трахитовой структурой основной массы.

Керсантиты ( $\xi$ Сг). Слюдящие лампрофиры диоритового ряда представлены керсантитами. Они состоят из плагиоклаза, биотита и небольшого количества калиевого полевого шпата и изрежка пироксена. Порфировыми выделениями в керсантитах являются биотит и редко какой-либо другой минерал.

Аксессорные минералы представлены апатитом, магнетитом; вторичные — хлоритом, серицитом.

#### ТЕКТОНИКА

К этому комплексу отнесены немногочисленные дайки микролитигитов, диоритовых порфиритов, сиенито-диоритов, вогезитов, олинитов, керсантитов, которые сеют эффузивы триасового возраста. Верхняя возрастная граница их неизвестна.

В соседних районах эти дайки рвут отложения гусиноозерской

## ДОКЕМБРИЙСКИЙ СТРУКТУРНЫЙ ЯРУС

Область докембрийской складчатости расположена в пределах Заганского и Бургутуйского хребтов. Ориентирована она в северо-восточном направлении, имеет ширину 25–30 км и своими границами полностью совпадает с названными выше орографическими элементами. Область докембрийских структур обрезается крупными разломами. Одни из них, проходящий вдоль южных склонов Заганского и Бургутуйского хребтов, является по своей протяженности крупнейшим на территории БАССР. На изученной территории он прослежен более чем на 100 км; на юго-западе он уходит в МНР, где также прослежен на сотни километров и описан под названием хентейского глубинного разлома (Васильев, 1958). Второй разлом проходит несколько севернее — вдоль северного склона Заганского хребта, через долину р. Субуктуй и далее в МНР по долине р. Желтуры.

Архей — протерозойские образования слагают крупную антиклинальную структуру северо-восточного простирания. Шарнир антиклинария имеет тенденцию к погружению на северо-восток и северо-запад. На крыльях антиклинария метаморфические породы боргойской и Хангар-Ульской свит смяты в сложные складки — опрокинутые, сундукообразные, веерообразные и др. Подмечено, что складки второго порядка (по отношению к антиклинарию) всегда асимметричны и опрокинуты в сторону замка антиклинария.

Антиклинарий также осложнен серией пологих брахискладок, ориентированных в северо-западном направлении. Эти складки наиболее отчетливо выражены в районе Кахтинской группы месторождений силиманиевых сланцев. Здесь выделяются (Лембо, 1959): Пограничная антиклиналь; Богтийская синклиналь; Ламогорская синклиналь; Никеле-богтийская антиклиналь; Траковая антиклиналь; Суджинская антиклиналь. Направление шарниров этих структур северо-западное 330–340°. Падение крыльев брахискладок 15–20°. Как исключение в падях Глухая, Сава падение слоев на крыльях складок изменяется в 60–80°.

Брахискладки, осложняющие антиклиналь, не являются реликтами древних структур; они возникли значительно позднее и их образование тесно связано с тектоническими движениями, происходившими на границе мезозоя и кайнозоя и с которыми связано возникновение глыбовых поднятий внутри Хилок-Чицкой впадины.

Одновозрастные с протерозойской складчатостью границы хамар-дабанского интрузивного комплекса слагают интрузивы, ориентированные в северо-восточном направлении. Для внутренней тектоники гранитоидов хамар-дабанского ин-

трузивного комплекса характерным является следующее: вытянутость интрузивов в северо-восточном направлении; активное участие в складчатых процессах.

Наложенные мезо-кайнозойские тектонические движения в пределах докембрийской складчатости проявлялись в виде разломов, разделивших фундамент древней глыбы на более или менее крупные блоки. Эти движения способствовали проявлению интенсивной магматической деятельности, выразившейся в излиянии эфузивов кислого и основного состава. Вертикальные движения отдельных блоков привели к образованию мезо-кайнозойских впадин, выполненных отложениями гусиноозерской серии.

## МЕЗО-КАЙНОЗОЙСКИЙ СТРУКТУРНЫЙ ЯРУС

Мезозойские структуры по генезису подразделяются на два типа: складчатые и глыбовые.

### Складчатые структуры

Вопреки мнению многих исследователей Юго-Западного Забайкалья составители записки считают, что в пределах обширного региона в мезозое проявилась раннекиммерийская фаза складчатости, сопровождавшаяся интенсивной магматической деятельностью, которая выражалась излиянием эфузивов кислого и основного состава и внедрением раннекиммерийских гранитоидных интрузий.

Северную границу раннекиммерийской складчатости в настолее время установить трудно, можно лишь предполагать, что она проходила севернее Улан-Удэ.

В пределах изученной территории область раннекиммерийской складчатости расположена на юго-востоке, на левобережье рек Чикой. Здесь породы петропавловской и паган-хунтейской свит смяты в линейные складки северо-восточного простирания. Виду плохой обнаженности, внутреннее строение этой области изучено недостаточно полно. Можно лишь сказать, что в ее строении принимают участие породы петропавловской и паган-хунтейской свит, гранитоиды мало-кургалейского интрузивного комплекса, кайнозойские эфузивы и дайковый хурай-байбинский комплекс. Внедрение даек хурай-байбинского комплекса явилось следствием более поздних, чем раннекиммерийские, тектонических движений.

На площади развития пермо-триасовых эфузивов установлены синклинальная складка северо-восточного простирания. Ядро ее сложено породами паган-хунтейской свиты, крылья — основными эфузивами петропавловской свиты. Ширина складки 3–4 км, углы падения крыльев 30–35°. Складка осложнена разломами северо-восточного и меридионального направлений.

Гранитоиды мало-куналейского интрузивного комплекса, прорывающие пермо-триасовые эффиузызы, слагают штоки, в плане имеющие изометрическую форму. Они имеют с вмещающими породами крутые контакты и пространственно приурочены к разломам северо-восточного простирания. Характерными особенностями интрузивов мало-куналейского комплекса являются: изометрическая форма; приуроченность к участкам пересечений различно ориентированных разломов; механическое воздействие на породы кровли.

Все это вместе взятое свидетельствует о их трещинном типе.

### Глыбовые структуры

Формированнию глыбовых структур предшествовали крупные расколы земной коры, по которым внедрились трещинные интрузии гранитоидов малокулалейского комплекса; в некоторых местах они только начинают вскрываться эрозией (левый склон пади Соленои).

С севера на юг на местности отчетливо выделяются в рельефе следующие глыбовые структуры, имеющие одинаковый структурный план с более древними структурами: Калиновский горст, Субуктуйский грабен, Бургутуйский горст, Хилок-Чикойский грабен, Киранский горст.

Калиновский горст расположжен в северной части плоскости листа М-48 XVII и на местности выражен хребтами Хангидаи и Калиновым. Он имеет ширину 18—20 км. Большая часть его расположена за северной границей района. Горст сложен метаморфическими породами протерозоя и эффиузызы чешейской свиты. От Бургутуйского горста этот горст отделен Субуктуйским грабеном.

Субуктуйский грабен описан впервые. Он вытянут в широтном направлении на расстоянии 6—8 км. Ширина грабена 2—2,5 км. Есть основание предполагать, что большая часть грабена перекрыта эффиузызами чешейской свиты.

Внутреннее строение грабена почти не изучено. Известно, что он выполнен отложениями гусиновзерской серии, которые дислоцированы и имеют углы падения от 20 до 30°.

Бургутуйский горст сложен преимущественно слоисто-кристаллическими породами протерозоя и частично эффиузызы чешейской свиты (левый борт Субуктуйской впадины). Он является юго-западным продолжением Заганского горста. С севера и юга горст ограничен крутыми разломами, из которых юго-восточный, проходящий по северо-западной окраине Хилок-

Хилок-Чикойский грабен расположен между двумя кристаллическими массивами — хребтами Заганским и Тампирским. Ширина грабена 15—18 км, длина 80 км. Грабен имеет

сложное внутреннее строение. Он выполнен эффиузызами породами хилокской свиты, нормально осадочными отложениями гусиновзерской серии и кайнозойскими осадочными и эффиузызовыми образованиями. Все перечисленные отложения, за исключением кайнозойских, дислокированы и слагают крупную синклинальную складку асимметричного строения с крутым северным и пологим южным крыльями. На гравиметрической карте, составленной Ю. Я. Рейтбордом, отчетливо выражены северная, восточная и западная границы синклиналии.

Асимметричность синклиналии хорошо отражена на карте локальных аномалий (Рейтборд, 1960) резкими градиентами поля вдоль северной границы и слабыми — вдоль южной, а также приближением осей минимумов силы тяжести к северному борту впадины.

С севера Хилок-Чикойская впадина ограничена крупным разломом с элементами надвига, по которому породы кристаллического фундамента надвинуты на торско-меловые отложения. Разлом на магнитной карте соответствует полоса резких градиентов поля силы тяжести. «Характер гравитационного поля указывает, что надвиг на глубине переходит в сброс с амплитудой в 1 км» (Рейтборд, 1960).

Геофизическими работами установлены внутри Хилок-Чикойского грабена более мелкие структуры: 1) Топкинская антиклиналь; 2) Эдуйская синклиналь; 3) Окино-Ключевская синклиналь; 4) Киранское глыбовое поднятие.

Геофизическими работами также установлено блоковое строение кристаллического фундамента Хилок-Чикойского грабена.

Киранский горст сложен эффиузызами петропавловской и чаган-хунтейской свит, гранитоидами мало-куналейского интрузивного комплекса и кайнозойскими эффиузызами. Пермо-триасовые эффиузызы дислоцированы в складки и затронуты разломами северо-восточного и северо-западного простирания.

### Разрывные нарушения

Роль разломов в мезо-кайнозойской тектонике велика, что подчеркивается всеми исследователями, работавшими в Западном Забайкалье. По характеру проявления они подразделяются на сбросы, своды, надвиги; по времени заложения выделяются мезозойские и кайнозойские разломы; по ориентации — продольные и поперечные.

Зоны разломов фиксируются по разнообразным тектонитам, перекристаллизованным милюлитам, катаклазитам, тектонитическим брекчиям, какиритам. Изучение тектонитов позволило нам установить в районе древние разломы, функционирующие в течение длительного промежутка времени, включая и кайнозой.

Некоторые из разломов отчетливо выражены в рельефе. Наиболее древним и наиболее живущим разломом является разлом, проходящий по северной окраине Хилок-Чикойской впадины. В пределах территории листов М-48-ХVII и М-48-ХVIII он известен под названием Заганского. В пределах МНР он описан под названием Хентейского. Ширина зоны разлома 2—6 км. В пределах ее отмечаются нигенсивная мионитизация, катаклазит, установленные по наличию черных мионитов, разлома произошло до образования Хилок-Чикойской впадины. В частности, в гальках конгломератов гусинозерской серии, выползающей впадину, в изобилии встречаются миониты и катаклазиты пород, слагающих Заганский хребт.

В мезозойский этап развития, после образования впадин, протерозойские образования были надвинуты на осадочный мезозой. Установлено, что плоскость надвига имеет углы падения 25—30° на северо-восток.

Амплитуда надвига не превышает 4—5 км.

В конце мезозойского периода развития в пределах зоны мионитов и катаклазитов юго-восточной оконечности Бургутуйского хребта проявились дислокационные нарушения северо-восточного простирания сбросового характера, вызвавшие раскол кристаллического фундамента на узкие блоки такого же направления. Разломы имеют характер сбросов с углами падения 60—50° на северо-запад. Этими сбросами затронуты породы хилокской свиты и отложения гусинозерской серии. С этими же разломами, по-видимому, связаны трещинные излияния лав цекейской свиты.

Крупная зона разлома закартирована по направлению деревни Большой Луг — Субуктуй — Усть-Кяхта. Он ориентирован в северо-восточном направлении параллельно Заганскому разлому. В пределах зоны, шириной в 2—3 км, наблюдались катаклазиты и миониты гнейсов, зеленых ортосланцев. Эта зона является продолжением крупной тектонической зоны, проходящей по северному склону Заганского хребта.

Наиболее молодыми разломами района являются сбросы северо-западного простирания, описываемые многими исследователями как поперецные (Флорентсов, 1959; Замараев, 1956 и др.). Время их заложения — конец мезозоя, начало кайнозоя. С ними связано заложение долин рек Селенги, Чикоя, Хилка, образование блоковых поднятий вдогонку тектонических впадин. Большинство этих разломов погребено под четвертичными отложениями и об их строении судить трудно. Разломы по долинам рек хорошо фиксируются аэромагнитной съемкой масштаба 1 : 200 000. Разлом, проходящий по долине р. Чикой, устанавливается по данным гравиметрии. Наблюдаются резкое изменение простирации полосы больших градиентов с широтного на меридиональное.

С поперецными разломами в районе связанырудопроявления золота балейского типа и флюорита; прием при изучении кварц-флюоритовых жил было установлено, что поперецные разломы неоднократно подновлялись. По этим же разломам изливались четвертичные базальты.

## ГЕОМОРФОЛОГИЯ

Основные черты современного рельефа были заложены юрско-меловое время в период формирования глыбовых структур — горстов и грабенов. В последующее время этот рельеф претерпел значительные изменения.

Главные черты современного рельефа связаны с эндогенными силами. Не менее важное значение в формировании рельефа сыграли и экзогенные процессы: линейная эрозия и аккумуляция. Полчиненное положение занимают плоскостной смытый осипывание.

Изученная площадь характеризуется сравнительно небольшим разнообразием генетических и морфологических форм рельефа, среди которых выделяются два существенно важных морфологических комплекса: эрозионно-тектонический и аккумулятивный.

### ЭРОЗИОННО-ТЕКТОНИЧЕСКИЙ КОМПЛЕКС ТИПОВ РЕЛЬЕФА

Эрозионно-тектонический комплекс состоит из трех морфогенетических типов рельефа: а) низкогорный сильно расщепленный рельеф, б) низкогорный пологосклонный с мощным чехлом четвертичных наносов, в) увалисто-холмистый рельеф дниши межгорных впадин.

*Низкогорный сильно расщепленный рельеф* (хребты Бургутуйский, Калиновый). Для него характерны горы с абсолютными отметками не превышающими 1150 м. В среднем их высоты колеблются в пределах от 80 до 1000 м. Относительные превышения также не велики и составляют 300—400 м.

Водораздельы, в пределах выделяемого типа рельефа, узкие, гребневидные, с остророверхими, местами пилообразными вершинами.

Поперечные профили водоразделов резко асимметричны: северные склоны пологие, южные — крутые. Широким разви-тием в описываемой области пользуются сухие пади и овраги.

Поперечные профили падей имеют V-образную форму. *Низкогорный пологосклонный рельеф*. Этот тип рельефа при-мывает к низкогорному сильно расщепленному рельефу и раз-вивается наиболее широко.

По абсолютным и относительным превышениям низкогорный пологосклонный рельеф не отличается от описанного выше типа рельефа. Но в морфологическом отношении разница между

ими велика. Здесь развиты плоские водоразделы с широкими куполовидными вершинами и слабо выпуклыми склонами. Большинство склонов покрыто мошным чехлом рыхлых современных отложений. Поперечные профили водоразделов имеют симметрично-выпуклый вид. Отдельные вершины поднимаются над глазными водоразделами на незначительную высоту.

Пади и долины мелких рек редко имеют V-образный профиль. Более характерны короткие, но широкие и пологие пади, заполненные рыхлыми отложениями.

Лоперечный профиль отдельных

с широким плоским дном, достигающим местами ширины до 1 км, и очень круглым, по низы склонов (долина р. Кирин).

Рельеф озерно-аллювиальных равнин. Указанный тип рельефа наиболее широко развит в Хилок-Чикойской впадине, по правую сторону р. Чикой, а также на правобережье р. Селенги. Этот тип рельефа образовался в результате интенсивной деятельности ветра, вызвавшего перемещение озерных песков. Вследствие этого возникли многочисленные бугры, грядовые пески и валы, вытянутые в согласии с направлением господствующих ветров. Отмечаются также формы грядово-ячестные и ячистые, которые вытянуты в одном направлении в виде гряд высотой до 50 м и разобщенных низкими перемычками. Между грядами в песках образовались понижения, в виде замкнутых котловин, овальной или округлой формы.

В пределах современных впадин иногда отмечается котловинно-западинный рельеф, развивавшийся на месте древних

Следует подчеркнуть, что в верховьях реки Кильмезь имеются участки, где отсутствует растительный покров, большую роль приобретают процессы дефляции, в результате которых возникают котловины выдувания, барханы.

Увалисто-холмистый рельеф днища впадин занимает незначительную площадь в центральной части Хилок-Чикойской владины. Этот тип рельефа характеризуется длинными, плоскими увалами северо-западного направления. Вершины увалов плоские, относительные превышения их составляют 50 м. Между увалами расположены мелкие неглубокие распадки и лога сerezанными в них донными оврагами. Эти овраги очень широкие, с пологими склонами, большей частью задернованными.

АККУМУЛЯТИВНЫЙ КОМПЛЕКС ТИПОВ РЕЛЬЕФА

В этом комплексе различные типы рельефа объединяются на основе ведущей роли в их образовании процессов аккумуляции. Выделяются сплошопитающие типы рельефа: пойменный, наклонный

равни, рельеф озерно-аллювиальных аккумулятивных рельефов современной рельеф вулканических гор.

Рельеф наклонных предгорных равнин получил свое развитие по правую сторону Джиды, где находится отложение делювиально-протровиальный шлейфа. Ширина полосы превышает 2,5 км. Это совершенно плоская, слегка наклонная к долине Джиды поверхность, сформированная на месте слившихся конусов выноса многочисленных оврагов. К пойме Джиды эта поверхность наклонена под небольшим углом. Поверхность ее осложнена микроформами, представленными котловинами выдувания, которые ориентированы в мериди-

## ПОЛЕЗНЫЕ ИСКОПАЕМЫЕ

ушки, около деревень Зарубино и Степаново. Рельеф вулканических гор. Этот тип рельефа в виде узкой долины Р. Субуктуй и обустроены полосы проследлены по обе стороны долины Р. Субуктуй и обустроены ловлен эфузивами кайнозойского возраста, которые слагают невысокие конусовидные горы с очень крутыми склонами и коническими вершинами.

Территория листа М-48-ХVII является наиболее изученной в отношении полезных ископаемых в Бурятской АССР. В пределах ее установлены месторождения и проявления бурых углей, алюминия, титана, золота, железа, бериллия, меди, природные знаки урановой минерализации и разнообразные нерудные полезные ископаемые, как глины, исландский шпат, флюорит керамическое сырье, туфы, кварциты, минеральные краски, гравий. Район находится в благоприятных экономических условиях. Решение поставленной задачи имеет хорошие пути сообщения.

## ГОРЮЧИЕ ПОЛЕЗНЫЕ ИСКОПАЕМЫЕ

### Твердые горючие ископаемые

#### Бурый уголь

Угленосные отложения гусинозерской серии широко распространены в Хилок-Циксайской впадине. Здесь к ним приурочено Окино-Ключевское месторождение бурых углей, которое расположено в 3—4 км от восточной рамки листа (лист М-48 XIII). Угли приурочены к селенитской свите, по физическим и химическим свойствам — бурые. Они кларенловые с прислойями и линзами дюрина и виндра. По химическому составу относятся к бурым зрелым углам с содержанием углерода в органическом массиве, в среднем 75,6 %. Температура способность на горючую массу около 7000 кал, кокс порошкообразный. Уголь содержит в абсолютном сухом топливе золы от 6,24 до 23,96 %, серы менее 1 % (Стругов, 1943).

#### Черные металлы

##### Титан

Рудопроявления титана приурочены к породам хангурульской свиты. Они представлены рутилом, образующим рассеянную вкрапленность в кварцах и силимантитовых сланцах.

В 1956 г. поисками промышленных концентраций рутила и оценкой рутилопосыпок занимался А. Ф. Китайнин. По определению А. Ф. Китайниника, содержание рутила в силимантитовых сланцах и кварцах колебается от 0,05 до 13,5 кг/т. По предварительным подсчетам запасы двукиси титана по всей группе месторождений силимантитовых сланцев определяются в 15—20 млн. т. А. Ф. Китайнином также установлено до 27 кг/т ильменита в напосах р. Мельничной. Промышленного значения данные проявления титана не имеют.

##### Гематитовые руды

Рудопроявления железа связаны с кварцевыми жилами и метаморфическими породами боргойской свиты. Тархатуйское рудопроявление расположено на восторазделе падей Нарын-Хундуя и Тархатуй.

Рудопроявление приурочено к породам среднего протерозоя и представлено горизонтом кварц-гематитовых сланцев. Горизонт прослежен на расстоянии 300—400 м при мощности около 10—15 м. Кварц-гематитовые сланцы тесно ассоциируют с лейкократовыми кварц-сернистовыми сланцами и залягают с ними согласно.

Кварц-гематитовые сланцы темно-серого почти черного цвета, тонкополосчатые и состоят из кварца и гематита с при-

месью апатита, рутила, лазулита, сульфида, сфена, лимонита, магнетита.

Распределение гематита в сланцах неравномерно; он образует глыбы и линзы мощностью от 0,8 до 8 см.

Содержание железа в кварц-гематитовых сланцах (по данным химических анализов) колеблется от 48 до 50 %. Рудопроявления магнетита, связанные с кварцевыми жильями, практического значения не имеют.

#### Цветные металлы

##### Медь

Чайдамское рудопроявление меди расположено на водоразделе падей Нарын — Хундуй и Тархатуй. Орудование меди связано с кварцевыми жилами, прорывающими породы среднего протерозоя. Мощность кварцевых жил изменяется от 0,1 до 1 м, протяженность их 15—25 м. Простирание жил северо-восточное 70°, падение на северо-запад под углом 50°.

В молочно-белом кварце присутствует малахит в виде радиально-лучистого агрегата и в виде примазок — азурит. В этих же кварцевых жилах отмечены халькопирит, ковеллин, борнит, магнетит, гематит, лимонит, пирит. Описанное рудопроявление практической ценности не представляет.

Зыряновское рудопроявление с морлоной меди находится на левом склоне долины р. Чикой северо-восточнее дер. Зыряновка. Рудопроявление представлено вкрапленностью самородной меди в мелких кварцевых жилах, прорывающих эфузивы петропавловской свиты. Рудопроявление не имеет практического интереса.

##### Алюминий

Кяхтинская группа проявлений и месторождений силимантитовых сланцев. Эта группа обьединяет 20 рудных участков силимантитодержащих сланцев, расположенных в юго-западной части района. Все они были выявлены в течение 1955—1959 гг. и в значительной мере изучены геологическими организациями.

Силимантитодержащие сланцы распространены на площади в 100—120 км<sup>2</sup>. Они входят в состав хангурульской толщи, которая образует крупную антиклинальную структуру северо-восточного простирания, осложненную более мелкими брахискладками второго порядка. Продуктивная часть толщи представляет собой серию пластообразных тел силимантитодержащих сланцев, гнейсов, реже кварцитов, переслаивающихся с биотитовыми гнейсами.

Тела силлиманитсодержащих пород образуют пласты мощностью от нескольких метров до десяти метров, прослеживающиеся по простиранию до 1,5 км. Переход между рудными и безрудными породами постепенный. Пластины имеют падение от 10 до 20°.

В состав силлиманитовых сланцев входят кварц, силлиманит, биотит, пирит, рутил; в небольших количествах присутствуют ильменит, циркон, гранат.

О генезисе силлиманитовых сланцев имеются две точки зрения.

Согласно одной — силлиманитовые сланцы образовались из осадочных пород (богатых глиноземом и бедных шелочами), метаморфизованных на широкой плошади гранитной интрузии (Дембо, 1959).

Согласно другой — обогащение сланцев глиноземом произошло вследствие дисиликации алюмосиликатов полевых шпатов и сподиолита, в результате воздействия на них пневматолитовых растворов (И. В. Шергин, 1959).

Из 18 проявленных силлиманитовых сланцев в настоящее время промышленное значение имеет участок Черная сопка: остальные признаны непромышленными. Месторождены в ГКЗ.

Харанхойское месторождение листена. Месторождение расположено в верховьях пади Дабатый, впадающей в р. Селену.

В строении участка месторождения принимают участие ксенолиты метаморфических пород хангар-ульской свиты, заключенные в гранитоиды мало-купальской щелочного интрузивного комплекса. Ксенолиты сложены мусковитовыми и кварц-мусковитовыми сланцами, в которых встречены прослон андалузит-лиственниковых сланцев.

Андалузит-лиственниковые сланцы сложены кварцем, лиственом, мусковитом, силлиманитом, рутилом, цирконом, серицитом.

Наиболее крупное рудное тело расположено по простиранию на 300 м. Мощность его от 2 до 20 м. Содержание листена, по данным минералогических анализов, в рудном теле колеблется от 16,7 до 34,1%, а во вмещающих породах — не более 5%.

Перспективные запасы руд по этому рудному телу ориентировочно составляют 40 тыс. т. Практического значения месторождение не имеет.

## Редкие металлы

Капчеранскоe проявление бериллия и редких металлов. По левому склону пади Суджи (Новая Капчеранка) в 1956 г. В. В. Берентиковской установлено поле берил-

лоносных пегматитов. В 1956 г. в описываемом районе проводились поисково-разведочные работы Кяхтинской партией треста № 1 в масштабе 1 : 50 000 и 1 : 10 000. На Капчеранском участке установлено 53 пегматитовые жилы, залегающие в биотитово-роговообманных гнейсах. Простирание жил северо-восточное 30—60°, падение на юго-запад под углом 45—60°. Мощность жил от 1 до 5 м, а в раздувах 15—20 м. По простиранию они прослежены до 200 м.

В состав пегматитов входят: полевой шпат, кварц, мусковит, биотит, гранат, турмалин, берилл.

Кристаллы берилла бледно-зеленого или голубоватого цвета, размером от нескольких миллиметров до 3 см в попечнике и до 7 см по длине оси. Берилл в пегматитовых жилах распространен неравномерно, но чаще приурочен к зальбандам и обычно ассоциирует с турмалином.

Спектральный анализ в пегматитах установлено: Ва от 0,03 до 0,06%, Ве до 0,06%, Nb до 0,03%, V до 0,06%.

В протолюках бороздовых и штуфных проб, взятых из пегматитов, было установлено наличие tantalо-ниобатов от единичных знаков до 0,41 г/т.

## Благородные металлы

### Золото

На площади листа М-48-XVII установлены два участка с косвенными признаками золота балейского типа: Холыйский и Мухутокский.

Холыйское рудное проявление расположено на южных отрогах Заганского хребта и приурочено к левому склону долины р. Холый и имеет следующие координаты: 52° 19' 10" с. ш. и 106° 58' 45" в. д.

В тектоническом отношении участок рудопроявления расположжен в зоне сочленения Заганского горста и Хилокского грабена, границей которых служит крупный разлом, известный в геологической литературе под названием Заганского.

В геологическом строении участка принимают участие метаморфические породы среднего протерозоя, триасовые эфузивы и горско-меловые отложения гусинозерской серии.

В катаклизированных и миллионтизованных породах хангар-ульской толщи установлена кварц-флюоритовая жила, приуроченная к разломам неогенового возраста северо-западного простирания. Она прослежена на протяжении 300 м. Простирация жилы северо-западное 340—350°, падение на юго-запад под углом 70—80°. Мощность жилы измеряется от 25 до 40 см.

Жила сложена халцедоновидным кварцем трех генераций и крупнometаллическим флюоритом. С вмещающими породами кварц-флюоритовая жила имеет отчетливые контакты.

Выделяются следующие разновидности халцедоновидного кварца: полосчатый, псевдокальцитовый, пластинчатый, кокардовый, друзовидный, сахаровидный.

Установлена следующая последовательность в образовании кварцифлюоритовой жилы. Первоначально образовался колломорфный полосчатый кварц (I генерация), затем псевдокальцитовый кварц (II генерация), брекчированый полосчатый кварц, за ним последовало образование сахаровидного и друзовидного кварца (III генерации) и, наконец, крупнокристаллический флюорит.

В полосатом, брекчированном кварце пребывают апатитом устаковано золото в количестве  $10,8 \text{ г/т}$  и серебро —  $8,4 \text{ г/т}$ .

Мухутокское рудопоявление находится в 4,5 км западнее Холыбского участка и в 3 км севернее дер. Харлун. Он приурочен к водоразделу рек Мухуток и Зул-Харлун. Его координаты:  $52^{\circ} 18' 03''$  с. ш. и  $106^{\circ} 55' 10''$  в. д.

Геологическое строение Мухутокского участка изучено слабо. В деловиальных обломках встречены глыбы и эфузивы, которые интенсивно катаклизированы и мильонитизированы, а также и пронизаны халцедоновидным кварцем.

Крупноглыбовые сваи халцедоновидного кварца с флюоритом прослежены на расстоянии до 1,5 км вдоль водораздела р. Мухуток. Примечательность жилы около 1,0 м. Пребиранием анализом в кварце установлено серебро в количестве от 4,8 до 5,6 г/т. Золото не обнаружено.

### Оптическое сырье

#### Исландский шпат

В юго-восточной части хр. Калинового в пределах развития основных эфузивов чешейской свиты на площади в  $100 \text{ км}^2$  выявлен ряд проявлений исландского шпата.

Как правило, находки кристаллов исландского шпата приурочены к выходам липтовых, лилово-серых, мелколистовых с трахитоидной текстурой миллиметровых порфириотов и к шаровым лавам массивных порфириотов. Кристаллы исландского шпата обнаружены в высыпках, левый склон пади Хангидай, прослеживающихся на расстоянии 15—20 м, а на отдельных участках на протяжении 100—200 м.

Показанные на карте отдельные проявления Калиновской группы проявлений исландского шпата являются участками максимальной концентрации кристаллов исландского шпата.

Отдельные кристаллы были отмечены повсеместно на юго-восточных склонах хр. Хангидай.

Для эфузивных пород, несущих исландский шпат, характерно присутствие миндалин, выполненных десмином, томсонин-

том, натролитом. Миндалины, выполненные собственно исландским шпатом, имеют размеры от 1 до 6 см в диаметре.

Кристаллы, найденные на поверхности, в большинстве случаются сколами из крупных кристаллов и достигают размеров до  $4 \times 5 \times 6,5$  см в диаметре. Они прозрачные, полупрозрачные, сильно выветрелые и свойникованные. Оценочные работы на проявлениях исландского шпата Калиновской группы не проводились.

### Химическое сырье

#### Флюорит

Мало-Харасунское проявление расположено на правобережье р. Джиды, юго-западнее горы Тулда.

Рудопроявление приурочено к тектонической зоне северо-восточного простирания. Оно представлено крутопадающими кварц-флюоритовыми прожилками, северо-восточного простирания. Мощность прожилков от 5 до 10 см. Флюорит светло-зеленого и светло-фиолетового цвета. Мало-Харасунское проявление изучалось А. К. Извековым и оценено им как непрективное.

Цаган-Усунское проявление находится на левобережье р. Селенги, юго-западнее дер. Цаган-Усун, на западном склоне горы Хаян.

В геологическом строении этого участка принимают участие протерозойские гранито-гнейсы и лейкократовые граниты хамар-дабанского интрузивного комплекса.

В лейкократовых гранитах отмечены единичные прожилки флюорита фиолетового цвета. Кроме того, мелкая вкрапленность флюорита отмечена в пегматоидных обособлениях хамардабанских гранитов. Флюорит фиолетового и светло-зеленого цвета. Это проявление практического значения не представляет.

Холысское и Мухутокское проявление флюорита расположены на южном склоне Заганского хребта в пределах ранее описанных участков с золоторудным орудлением. В пределах участков в деловиальных свалах встречены глыбы низкотемпературного кварца с вкрапленностью флюорита. Флюорит крупнозернистый, зеленый, белого и реже фиолетового цветов. Отдельные кристаллы флюорита прозрачны.

Содержание флюорита в кварц-флюоритовых жилах не превышает 10—15%.

Холысское и Мухутокское проявления флюорита не разведывались.

#### Минеральные краски

Калиновское месторождение минеральных красок расположено в 6 км юго-западнее дер. Калинина, на южном склоне хр. Калинового. Месторождение представлено двумя разобщенными линзовидными залежами сурковид-

ных охр, образовавшихся при выветривании эфузивов щелейской свиты (С. В. Михайлов, 1961). Мощность залежей 0,5—2,6 м, протяженность 200—400 м.

Качество пигмента, по заключению лаборатории НИТХИ, вполне удовлетворительно и он может использоваться для получения железоокисных красок типа глинистых охр.

Подсчитанные запасы красок по категории С<sub>2</sub> составляют 20 950 м<sup>3</sup>.

### Керамическое и стекольное сырье

Известный интерес для керамической и стекольной промышленности могут представлять лейкократовые граниты, кварц-серпентиновые сланцы, пегматиты и кварциты, имеющиеся на площади листа в значительных количествах находящиеся в благоприятных экономических условиях.

Лейкократовые граниты выходят в 5 км севернее ст. Наушки в поле развития метаморфических пород. Граниты слагают четыре обширные складки около 10 км<sup>2</sup> и относятся к хамардабанскому комплексу.

Макроскопически граниты розового-серого, серого цвета породы мелко- и среднезернистого сложения, почти лишенные темно-зеленых минералов. Минералогический состав гранитов: кварц (30—40%), калиевый полевой шпат (40—60%), плагиоклаз (10—15%), магнетит (0,5—1%), ортит (0,5—1%). Структура гранитов в большинстве случаев гранитовая, текстура массивная.

Химический состав лейкократовых гранитов Наушкинского участка дан в табл. 1.

Наименование месторождений	SiO <sub>2</sub>	Al <sub>2</sub> O <sub>3</sub>	TiO <sub>2</sub>	Fe <sub>2</sub> O <sub>3</sub>	FeO	CaO	MgO	J <sub>2</sub> C <sub>1</sub> N <sub>2</sub> O	Al <sub>2</sub> O <sub>3</sub> /FeO	Влага
Сайдетуйское месторождение	73,64	15,87	—	0,48	—	1,55	0,15	4,95	3,53	0,30
Наушкинский участок	88,2	5,72	—	0,5	0,36	0,11	0,29	3,68	0,92	0,15
	72,22	13,35	0,29	2,2	0,72	0,69	0,45	5,37	4,35	0,42

Граниты Наушкинского участка находятся в благоприятных экономических условиях. Непосредственно у выходов гранитов проходит ж. д. Улан-Удэ — Наушки и судоходная р. Селenga.

Кварц-серпентиновые сланцы известны севернее пос. Усть-Кяхта и в районе горы Козьей.

Усть-Кяхтинский участок расположен в верховьях нади Сухой ключ, в 5 км севернее пос. Усть-Кяхта. В геологическом строении его принимают участие биотитовые, кварц-

мусковитовые, кварц-серпентиновые сланцы среднепротерозойского возраста. Кварц-серпентиновые сланцы образуют горизонты мощностью от нескольких метров до 60 м. Они прослеживаются на расстоянии 400—600 м.

Макроскопически сланцы представляют собой серовато-белую сланцеватую породу, жирную на ощупь.

Минералогический состав сланцев: кварц (45—50%), серпентинит (40—50%), калиевый полевой шпат (до 10%), силлиманит (до 1%). Размер зерен кварца колеблется в пределах от 0,1 до 0,2 мм; серпентита от 0,01 до 0,1 мм.

Химический анализ кварц-серпентиновых сланцев показан в табл. 2.

Таблица 2

№ проб	SiO <sub>2</sub>	Fe <sub>2</sub> O <sub>3</sub>	TiO <sub>2</sub>	Na <sub>2</sub> O	K <sub>2</sub> O	Al <sub>2</sub> O <sub>3</sub>	FeO	Влага
Северный склон г. Козьей	73,41	1,08	0,30	0,70	5,58	15,03	0,18	H <sub>2</sub> O
Правый склон долины пади	72,73	0,64	0,33	H <sub>2</sub> O	5,73	14,98	—	0,08
Сухой Ключ	72,69	1,44	0,33	H <sub>2</sub> O	0,05	16,44	—	0,12
	73,12	12,8	0,28	H <sub>2</sub> O	5,25	15,68	—	0,12
	12,07	1,76	0,31	H <sub>2</sub> O	5,52	16,05	—	0,02

### Пегматиты

Пегматиты на площади листа широко распространены. Особенностью их много южнее ст. Наушки и на левом склоне пади Новая Капчаранка.

Наушкинское месторождение пегматитов. Пегматиты в районе ст. Наушки встречаются в хамардабанских гнейсированных гранитах, где они образуют серию пологопадающих жил с многочисленными раздувами и пережимами. Мощность жил 5—10 м, протяженность 50—100 м. Структура пегматитов графическая, пегматитовая.

Минералогический состав пегматитов — калиевый полевой шпат, кварц, мусковит, апатит, гранат. Гранат присутствует в виде крупных кристаллов (от 0,5 до 1,0 см) в приконтактовой зоне пегматитов. Химический состав пегматитов приведен в табл. 3.

Таблица 3

Ст. Науки	SiO <sub>2</sub>	Al <sub>2</sub> O <sub>3</sub>	Fe <sub>2</sub> O <sub>3</sub>	FeO	TiO <sub>2</sub>	Na <sub>2</sub> O	K <sub>2</sub> O	Влага
74,27	16,65	0,80	0,25	H <sub>2</sub> O	1,06	10,40	H <sub>2</sub> O	
	12,57	0,64	0,22	H <sub>2</sub> O	1,63	9,22	H <sub>2</sub> O	

## Капчаранско-Месторождение пегматитов

расположено в 5 км западнее дер. Капчаралка и представлено пегматитовыми жилами северо-восточного и северо-западного простирания. Мощность пегматитовых жил от 1 до 20 м, протяженность 100—200 м. Пегматиты сложены калиевым полевым шпатом, мусковитом, биотитом, гранатом, бериллом, турмалином. Химический состав пегматитов без биотита приведен в табл. 4.

Таблица 4

	SiO <sub>2</sub>	Al <sub>2</sub> O <sub>3</sub>	Fe <sub>2</sub> O <sub>3</sub>	FeO	TiO <sub>2</sub>	Na <sub>2</sub> O	K <sub>2</sub> O	Vнага
Паль Капчаралка	72,35	13,17	0,80	0,29	0,09	1,06	10,40	п/о
То же	74,21	11,55	3,93	1,29	0,09	1,71	7,38	п/о

Кварциты входят в состав нижней подсвиты хангарульской свиты. Они отмечены на всех участках Кяхтинской группы месторождений силлиманита.

Кварциты в виде линз встречаются совместно с силлиманитовыми сланцами. Длина линз измеряется до нескольких сотен метров; мощность до 45 м.

Наиболее крупные линзы кварцитов отмечены на участках Глухая паль, Трактовый, Южный, Черная сопка, Сава.

Макроскопически кварциты мелко- и средизернистого сложения серой, светло-серой, розовато-серой окраски. Они сложены кварцем (90—98%), силлиманитом (5—8%), рутилом (1—2%), мусковитом (2—3%).

Химический состав кварцитов по определению А. Ф. Китайника приведен в табл. 5.

Таблица 5

№ проб	SiO <sub>2</sub>	Al <sub>2</sub> O <sub>3</sub>	Fe <sub>2</sub> O <sub>3</sub>	TiO <sub>2</sub>
122	95,72	0,89	1,99	1,00
121	96,23	1,62	1,84	0,75
140	95,11	0,87	2,78	1,15
14	95,71	2,33	0,38	1,15
148	96,02	1,45	0,75	1,32
466	97,21	0,16	1,12	1,28

## СТРОИТЕЛЬНЫЕ МАТЕРИАЛЫ

### Вулканические стекла

Среди эффиузивов цежейской свиты выявлены два участка с вулканическими стеклами основного состава. В последнее время установлено, что способностью всучиваться обладают не только кислые вулканические стекла (перлиты), но и стекловатые лавы среднего и основного состава в зависимости от присутствия кристаллизационной воды от 1,5 до 5%. Кроме того, стекловатые лавы основного и среднего состава с содержанием стекла выше 55—60% могут применяться в производстве различных цементов: бескликерных марок (80—100), с незначительной добавкой (от 5 до 25%) активизаторов из свежеобожженных слабо магнезиальных и магнезиальных карбонатных пород; малокликерных марок (150—200) с незначительной добавкой портландцемента или его кликера при совместном размоле стекловатых лав или их туфов, а также высокомарочных путем совместного размола портландцемента с кликера в весовом соотношении 1:1 (И. В. Белов, 1959).

### Усть-Харлунский участок вулканических стекол

Расположен на правобережье р. Чикой в 4 км южнее пос. Усть-Харлун. Участокложен вулканическими стеклами цежейской свиты, занимающих площадь в 6 км<sup>2</sup>. Макроскопически они представляют собой буровато-черной и черной окраски городы с раковистым изломом и смоляно-черным блеском. Они состоят из плагиоклаза (5—10%), основного стекла (80—90%). Под микроскопом наблюдается множество мелких пор, состоящих около 10—15% породы.

Харлантуйский участок в 2 км от Кяхтинского тракта окрадо пади Харлантуй среди порфиритов цежейской свиты отмечен поток гиалобазальтов, с видимой мощностью до 50 м. Гиалобазальты красно-бурового цвета, состоящие из 98% основного стекла.

Мало-Кумынское месторождение туфов. Это месторождение расположено на правобережье р. Чикой на вершине горы Малый Кумын.

В геологическом строении месторождения принимают участие четвертичные базальты и их туфы, а также четвертичные пески.

Месторождение туфов приурочено к жерлу вулкана и представлено двумя линзами 100×300 и 100×200 м, средней мощностью в 36 м.

Туфы месторождения представляют собой пористые породы бурого, лилово-бурого и лилового цвета. Размер пор до 1,5 см.

Они округлой формы, составляют 50—70% всей массы породы.

На основании проведенного комплекса испытаний (С. М. Михайлова, 1960) туфы месторождения пригодны в качестве инерт-

ного заполнителя для производства бетона марок 25, 35, 50, 90.

Запасы туфов составляют 597,5 тыс. м<sup>3</sup>.

Аналогичные породы встречаются и в других местах изученного района: в хр. Калиновом, на правобережье р. Чикой. Их оценка не производилась.

Джидинское месторождение туфобрекции базальтов с пебольшими прослоями лавобрекций. Мощность покрова туфобрекции базальтов изменяется от 1 до 30 м. Туфобрекции и лавобрекции обладают высокой поглотительной способностью и являются хорошими гидравлическими добавками для производства пущеполивых портландцементов.

Запасы месторождения по категории А<sub>2</sub>+В+C<sub>1</sub> составляют 12 168 тыс. т. (В. Н. Турунхаев, 1955). Эти запасы могут быть увеличены вследствие дозревания туфобрекции базальтов, занятыми площадью более 5 км<sup>2</sup>.

Шергинское месторождение бурового камня. Это месторождение находится восточнее г. Кяхты в верховьях пади Лекарской. В строении месторождения принимают участие гнейсы протерозойского возраста. Они разбиты системой трещин на крупные блоки. Отчетливо выделяются две системы трещин северо-восточного и северо-западного направления.

Гнейсы мелко- и среднезернистого сложения, серого и розового-серого цвета. Они сложены калиевым полевым шпатом, кварцем, биотитом, амфиболом и рудным минералом.

В результате физико-механических испытаний, проведенных на водогонгование, прочность и морозостойкость, было установлено, что гнейсы могут быть использованы в качестве бута и щебня при производстве строительных работ. По месторождению произведен подсчет запасов по категории А<sub>2</sub>+В+C<sub>1</sub> в количестве 7677,6 тыс. т (С. М. Михайлов, 1960). Месторождение эксплуатируется.

### Оgneупорные глины

Кяхтинское месторождение глин находится в 4,8 км северо-восточнее г. Кяхты. Оgneупорные глины в виде линзовидной залежи залегают на каолинизированных силлманитодержащих сланцах. Площадь залежи 300×500 м, мощность ее от 0,2 до 18 м. Глины выходят непосредственно на поверхность и лишь небольшая их часть перекрыта маломощными четвертичными отложениями.

Глины оgneупорные представляют собой пластичную породу, содержащую мелкие обломки силлманитовых сланцев. В качестве механической примеси в глинах содержится кварц, рутил,

столы. Количество крупной фракции составляет 50—60% от всей массы.

Глины Кяхтинского месторождения малопластичные (II класс пластичности), тугоплавкие (1568°). На основании лабораторных анализов, выполненных в институте «Оgneупоров» и «Нисстройкерамики», глины месторождения характеризуются низкой пластичностью, высокой температурой спекания и могут быть использованы для производства тугоплавкого кирпича методом сухого прессования.

Суммарные запасы оgneупорных и тугоплавких глин по категории С<sub>1</sub> составляют 1600 тыс. т. (И. П. Осташкин, 1957).

Усть-Кяхтинское месторождение глин находится на правом склоне долины р. Савы в пади Глухая. Глины Усть-Кяхтинского месторождения приурочены к коре выветривания спиломанитодержащих сланцев. По химическому составу и механическим свойствам они близки к глинам Кяхтинского месторождения.

Месторождение почти отработано и на оставшейся части произведен подсчет запасов по категории С<sub>1</sub> в количестве 18 тыс. т (И. П. Осташкин, 1957).

В настоящее время на месторождении производится добыча глин для футеровки печей Кяхтинской электростанции и ПВЭ. Липовское месторождение глин расположено на водоразделе рек Савы и Липовки, в 15 км от горы Кяхты.

Оgneупорные глины залегают на биотитовых гнейсах в виде линзы размером 100×300 м.

Запасы месторождения по категории С<sub>2</sub> составляют 230 тыс. т. (И. П. Осташкин, 1956).

Значительный интерес для оgneупорной и силликатной промышленности могут представлять спиломанитовые сланцы Кяхтинской группы месторождений спиломанитовых сланцев.

В 1959 г. Институтом химии силликатов АН СССР были проведены анализы спиломанитового концентрата с участка Черная сопка. В результате проведенных испытаний было установлено, что силлманитовые сланцы имеют большой интерес для производства высокоглиноземистых изделий.

### Кирпичные глины

Усть-Киринское месторождение суглинков находится на левом склоне долины р. Чикоя, юго-западнее дер. Усть-Кира.

Месторождение представлено небольшой линзой бурых глин и суглинков, заключенных в кварц-полевошпатовых песках. Среди песков и суглинков содержатся мелкие линзы и прослои галечников и гравия.

Глины и суглинки бурого цвета, жирные, пластичные.

разведочными работами, проводившимися И. Т. Кильессо в 1958 г., установлено, что линза не выдержана по простиранию, а ее мощность измеряется в пределах от 1,3 до 6,5 м.

На основании лабораторных и полузаводских испытаний было установлено, что суглиники относятся к высокопластичным и требуют отвешающих добавок в количестве 10—30%. Они могут применяться для производства кирпича марок 70 и 100.

По месторождению произведен подсчет запасов по категориям  $A_2 + B + C_1$  в количестве 131,2 тыс. т. Пространство запасов

может быть увеличен в результате оконтуривания залежи и выяснения перспектив на глубину. Месторождение можно разрабатывать открытым способом.

**Кяхтинское месторождение глин** находится на юго-западной окраине г. Кяхты. Месторождение представлено пластообразной залежью буровато-красных супесчанистых глин, залегающих на поверхности выветрелых протерозойских гранито-gneйсов и перекрытих эоловыми песками. Пластообразная залежь представлена рядом разобщенных линз мощностью от 1 до 20 м (М. Н. Радюк, 1954).

По технологическим и полузаводским испытаниям глины месторождения пригодны для производства кирпича марок 75 и 100.

По месторождению произведен подсчет запасов по категории  $B + C_1$  в количестве 8977 тыс. т. Месторождение разрабатывается.

**Месторождение глин Соленой.** Глины пади Соленои вскрыты одной линией разведочных выработок (скважины, шурфы), пройденной вкрест пади и ее средней части (Рожок, 1953). Глины распространены на площади в 10—12 км<sup>2</sup>.

По данным бурения скважин, максимальная мощность глин отмечена в юго-восточной части пади, где она достигает 30—35 м. В северо-восточном направлении мощность глин уменьшается до 1,5 м.

Глины красно-бурые, пластичные. Технологическим испытаниям и изучению механических свойств они не подвергались, запасы их не подсчитывались.

#### *Гравий и галечники*

**Чикойское месторождение** находится севернее пос. Усть-Харлык в долине р. Чикоя. Здесь на расстоянии 3—4 км полосой в 200—400 м протягивается хорошо отмытые и отсортированные галечники. Галька хорошо окатана и представлена в основном эрозивными породами кислого и основного состава, значительно реже встречается галька гранитондов.

**Селепгинское месторождение** расположено в долине р. Селепги, в 4 км северо-западнее дер. Цаган-Усун. Галечники слагают пойму. Они прослежены на расстоянии 2 км. Галька хорошо окатана и отсортирована.

Запасы по описанным выше месторождениям не подсчитываются.

#### *Признаки урановой минерализации.*

При массовом проведении на территории листа опробования водолуктов установлено четыре локальных аномалии с повышенным содержанием урана, превышающим фоновое для этого района ( $n \cdot 10^{-7}$ ): Киранская, Большелужская, Дырестуйская, Харлунская.

Участки, в пределах которых установлены аномалии, имеют благоприятное геологическое строение на поиски урана.

**Киринский участок** расположен на северо-востоке района в окрестностях оз. Кирен. Здесь в пробах воды установлено повышенное содержание урана, которое измеряется от  $n \cdot 10^{-5}$  г/л до  $n \cdot 10^{-4}$  г/л.

На участке установлен ряд признаков благоприятных на поиски урана.

**Структурный контроль.** Киранская участок сложен эфузивными породами петропавловской и чаган-хунтейской свит перво-триасового возраста. Эфузивные породы смыты в синклинальную складку северо-восточного простирания. Складка разбита серией дислоционтических нарушенний северо-восточного и меридионального простирания. Такая геологическая и тектоническая обстановка весьма благоприятна для нахождения месторождений гидротермального генезиса.

**Эрозионный срез.** Глубина эрозионного среза незначительна — на левом склоне пади Соленой трапигоиды мало-куналейского интрузивного комплекса только начинают вскрываться эрозией, что также является благоприятным признаком для поисков эндогенных месторождений.

**Околоводные изменения боковых пород.** На участке установлены следующие благоприятные околоводные изменения: каолинизация, хлоритизация, флюоритизация, карбонатизация, окремнение, биотитизация, окварцевание, окжелезение, албитизация, пренигизация.

Кроме того, в трещинах, выполненных вторичными карбонатами, обнаружены ураносодержащие гиалиты, а в подземных водах — элементы, сопутствующие урану в урановых месторождениях: берилль, литий, слово, ванадий, молибден.

Этот участок также перспективен на поиски редкоземельных элементов.

**Дырестуйский, Большегульский и Харлунский** участки расположены около северной границы территории листа примерно на одной линии, проходящей в широтном направлении и совпадающей с крупными разломами.

В структурном отношении автомалии расположены в зоне сочленения Заганского и Субкутуйского горстов с Хилок-Чикойским и Джидинским грабенами.

Подземные воды в пределах этой зоны имеют повышенное содержание урана: на Дырестукском участке —  $n \cdot 10^{-4} \text{ г/л}$ ; на Большегулском —  $n \cdot 10^{-4} \text{ г/л}$ ; на Харлунском —  $n \cdot 10^{-4} \text{ г/л}$ .

На продолжении этой зоны к востоку известны источники с повышенным содержанием радона (лист М-48-ХII).

Лечебные грязи известны в оз. Кирен, расположенным на юго-востоке района. Мощность 0,5—1,0 м. Грязи темно-серого, почти черного цвета с резким запахом сероводорода.

В водах оз. Кирен содержится также повышенное количество бора не промыщленных концентраций. Его появление, видимому, обусловлено выщелачиванием цеолитов из эффицитных пород петропавловской свиты.

О перспективах территории листа М-48-ХVII на полезные ископаемые на основании сказанного выше можно сказать следующее.

1. Хилок-Чикойская владина, выполненная угленосными отложениями гусиноозерской серии, перспективна на поиски буроугольных месторождений.

2. Южные склоны Бургутуйского и Заганского хребтов и прилегающая к ним северная окраина Хилок-Чикойской владины, перспективны на поиски золота балейского типа.

3. Значительный интерес представляют танталоносные и бериллоносные пегматитовые жилы, которые в настоящее время почти не изучены.

Необходимо изучение шелочных гранитоидов Мало-Куналейского интрузивного комплекса, с которым возможны месторождения редкоземельных элементов.

4. Высокое содержание урана в подземных водах окрестностей оз. Кирен позволяет говорить о перспективах этого района на уран.

5. В пределах площади распространения эффицитных пород Чежейской свиты необходимы поисковые работы на исландский шпат.

## ПОДЗЕМНЫЕ ВОДЫ

По характеру водовмещающих толщ, условиям залегания и

режиму подземные воды подразделяются на ряд следующих водоносных горизонтов: 1) грунтовые воды четвертичных отложений; 2) пластово-трещинные и пластово-поровые воды отложений гусиноозерской серии; 3) трещинные воды метаморфических, интрузивных, эффицитных пород.

### ГРУНТОВЫЕ ВОДЫ ЧЕТВЕРТИЧНЫХ ОТЛОЖЕНИЙ

Грунтовые воды четвертичных отложений делятся на водянистые, алювиальные отложенные, воды делювиально-пролювиальных отложений и волны древних речных и озерных отложений.

Воды аллювиальных отложений приурочены к отложениям современной гидросети. Глубина залегания грунтовых вод колеблется от 1,0 до 14,0 м. Дебит вод аллювиальных отложений из колодцев составляет 0,1—13 л/сек при понижениях на 2—3 см; для скважин — 3—7 л/сек при понижениях на 4—5 см.

По химическому составу эти воды относятся к гидрокарбонатно-кальциево-магниевым с минерализацией до 0,6 г/л. Жесткость вод в общем составляет 13,6 мг. экв.

По своему химическому составу воды описываемого типа вполне пригодны для питьевого и технического водоснабжения.

Воды проявляются в озерах и реках отложений приурочены к склонам междуручьев пространств, к падям и суходолам и тесно связаны с трещинными водами.

Водомещающие породы представлены мелким песчано-глинистым, пескструированным грубообломочным материалом, дресвой, шебенкой, глыбами. Минеральность их колеблется от 3 до 40 м.

Грунтовые воды в этих отложениях залегают на глубине 2—16 м. Дебит вод этих отложений по колодцам составляет 0,2—0,3 л/сек; источников — до 1,0 л/сек.

По химическому составу воды относятся преимущественно к гидрокарбонатно-кальциевым, гидрокарбонатно-магниевым, гидрокарбонатно-магниево-кальциевым с минерализацией до 1,3 г/л.

Жесткость воды колеблется от 1,9 до 23,4 мг. экв.

Воды древних речных и озерных отложений. Водоносные породы представлены мелкозернистыми песками с прослойями и линзами галенитов.

Глубина залегания водоносного горизонта колеблется в зависимости от рельефа от 7 до 70 м. Дебит скважин, вскрывающих эти воды, составляет 0,08—0,17 л/сек при понижении на 23,7 м.

По химическому составу воды описываемых отложений относятся к гидрокарбонатно-кальциевым, гидрокарбонатно-натриевым с минерализацией до 0,5 г/л.

### ПЛАСТОВО-ТРЕЩИННЫЕ И ПЛАСТОВЫЕ ВОДЫ ПОРОД ГУСИНООЗЕРСКОЙ СЕРИИ

Бодоносными породами являются трещиноватые песчаники, аргиллиты, конгломераты. Глубина залегания водоносных горизонтов колеблется в широких пределах — от 15 до 100 м. Воды большинства водоносных горизонтов беззапорные. Наиболее водообильны горизонты сильно трещиноватых песчаников. Дебит для этих горизонтов равен 0,29—1,0 л/сек. Воды гидрокарбонатно-натриевые с общей минерализацией 0,5—0,9 г/л.

## ТРЕЩИННЫЕ ВОДЫ ИЗВЕРЖЕННЫХ И МЕТАМОРФИЧЕСКИХ КОМПЛЕКСОВ

Водоносный комплекс протерозойских метаморфических пород. Водовмещающими породами являются сильно трещиноватые разлообразные гнейсы, кристаллические сланцы и метаморфизованные эфузивы ханг-ульской и боргойской свит (2). Глубина залегания водоносного горизонта колеблется от 5,6 до 41,0 м. Дебит скважин в этом горизонте составляет 0,4—1,9 л/сек при понижениях от 0,65 до 28,5 м. Воды характеризуются слабой минерализацией, редко превышающей 0,5 г/л, и относятся к гидрокарбонатно-кальциевым, гидрокарбонатно-магниевым и натриевым типам. Жесткость воды 2—5 мг/л.

В одиночный комплекс эфузивных пород. Водовмещающими породами являются сильно трещиноватые и пористые эфузивы основного и реже кислого состава.

Дебит вод по скважинам измеряется от 0,2 до 3,0 л/сек. Воды гидрокарбонатно-кальциевые, реже гидрокарбонатно-натриевые при минерализации 0,2—0,4 г/л.

В заключении отметим, что для целей водоснабжения наибольшее практическое значение имеют воды аллювиальных отложений и трещинные воды метаморфических и эфузивных пород.

## ЛИТЕРАТУРА

### Опубликованная

- Васильев В. Г., Волохин В. С., Гриши Г. А., Иванов А. Х., Маринов Н. А., Мокшанцев К. Б. Геологическое строение Монгольской Народной Республики. Гостехиздат, 1959.
- Верещагин Н. К., Иванев Л. Н., Кузнецов М. Ф. К нефть фунды мелкомагматических и стратиграфии кайнозойских отложений Забайкалья. Труды БКНИИ АН СССР, 1960.
- Иванов Б. А. Угленосные и другие мезозойские отложения Забайкалья. Труды Восточно-Сибирского геологического управления, 1949.
- Иванов Б. А. К вопросу о возрасте угленосных отложений в Забайкалье. Изв. АН СССР, серия геол., № 6, 1950.
- Мартинсон Г. Г. О разновозрастности континентальных отложений Забайкалья. Изв. АН СССР, серия геол., № 12, 1955.
- Маринов Н. А. Стратиграфия Монгольской Народной Республики. АН СССР, 1957.
- Налетов П. И., Шалаев К. А., Делуя Т. Т. Геология Джидинского рудного района. Труды Восточно-Сибирского геологического управления, вып. 27, Иркутск, 1941.
- Налетов П. И. Государственная геологическая карта СССР масштаба 1:1 000 000. Лист М.48. Объяснительная записка. Госгеотехиздат, 1956.
- Налетов П. И. Каталог фауны и флоры, птиц и спор центральной части Бурятской АССР. Госгеотехиздат, 1961.
- Обручев В. А. Геология Сибири, т. I, II, III, 1935—1938.
- Флоренсов Н. А. Мезозойские и кайнозойские впадины Прибайкалья. АН СССР, 1960.
- Фондообразующие
- Беренгилова В. В. Геологический отчет о поисково-разведочных работах Селенгинской партии на тиган и редкие элементы в Бургутуйском, Зарайском и Малхакском хребтах в 1955 г.
- Базаров Д. Б. Стратиграфия четвертичных отложений центральной части Селенгинского Среднегорья. 1960.
- Денисов К. К. Геология и пегматиты южного склона Заганского хребта. 1946.
- Дембов Т. М. Отчет по теме: «Изучение геологии, вещественного состава и генезиса месторождений силлманита Кяхтинской группы и прилегающих районов Бурят-Монголии». 1959.
- Изеков А. К. Геология и полезные ископаемые пристровой части реки Джиды. 1961.

\* Хранится в фондах Бурятского геологического управления.

ПРИЛОЖЕНИЕ

**СПИСОК МАТЕРИАЛОВ, ИСПОЛЬЗОВАННЫХ ДЛЯ СОСТАВЛЕНИЯ  
КАРТЫ ПОЛЕЗНЫХ ИСКОПАЕМЫХ**

- Иванов Б. А. Отчет Хилокской геологосъемочной партии за 1936 год в юго-восточной части Бургутского хребта и в районе пади Соленои. 1953.
- Китайник А. Ф., Ткачев В. С. Кяхтинские рутилонистые сланцы. 1957. Клевенский Г. М. Геологическая съемка между Кяхтой и Селенгипском. 1935.
- Клевенский П. М. Геологическая съемка в Кяхтинском аймаке. 1936.
- Налетов П. И., Наумова Е. И. и Новиков В. А. Геологическое строение западной части хр. Чаган-Дабан (Западное Забайкалье). 1954
- Новиков В. А., Сагалуев Д. Д. Геологическое строение хребтов Чаган-Дабана, Заганского (отчет о работах Заганской партии за 1954—1955 гг.). 1956.
- Новиков В. А. Объяснительная записка к геологической карте листа М-48-XI. 1957.
- Новиков В. А., Новикова А. Н. Геологическое строение и полезные ископаемые между реками Хилка и Чикой. 1960.
- Новиков В. А., Новикова А. Н. Объяснительная записка к геологической карте листа М-48-XVIII/XIX. 1960.
- Новиков В. А., Новикова А. Н., Павловец И. Н. и др. Геологическое строение и подземные воды междуречья Селенги и Чикоя. 1961.
- Рейтборд Ю. Я. Отчет о результатах работ Хилокской гравимагнитной партии № 16/58—59 в Бичурском районе Бурятская АССР в 1958—1959 гг. 1960.
- Рожок Н. С., Ишукова Л. Н. Отчет о поисковых работах Киринской партии за 1953 г. 1954.
- Сагалуев Д. Д. Объяснительная записка к геологической карте листа М-48-XI. 1959.
- 
- Изметов А. К. Геологическое строение и полезные ископаемые левобережья Усть-Чиклы и правобережья Усть-Чиклы. 1961
- Китайник А. Ф., Ткачев В. С. Кяхтинские рутилонистые сланцы (Отчет Кяхтинской партии за 1956 г.). 1957
- Михайлов С. В. и др. Малокумынское месторождение туфов и Шергинское месторождение бурового камня. 1960
- Михайлов С. В. Заключение по результатам работ Куналейской партии в 1960 г. 1961
- Новиков В. А., Новикова А. Н. и др. Геологическое строение и полезные воды междуречья Селенги и Чикоя. 1961
- Осташкин И. П. Отчет о поисковых работах на оgneутюриные глины и спиломанитовые сланцы в центральной части Бурятской АССР в 1954—1955 гг. 1956
- Радок М. Н. Отчет о результатах разведки глин на Кяхтинском участке. 1956
- Рожок Н. С., Ишукова Л. Н. и др. Отчет о поисковых работах Киринской партии за 1953 г. 1954
- Турухалев В. Н. и др. Дактиллитовое месторождение турфобрекций. 1956
- Чешенко Ю. А. и др. Отчет о геологоразведочных работах, проведенных на Кяхтинской группе силиманитовых месторождений в 1958 г. 1960

Фамилия и инициалы автора	Название работ	Год со- ставле- ния материала или издания	Местонахожде- ние материала, его фондовый номер
------------------------------	----------------	---	--

ПРИЛОЖЕНИЕ

Продолжение прилож. 2

Список промышленных месторождений полезных ископаемых, показанных на листе М-48-XVII карты Полезных Ископаемых масштаба 1:200 000

№ по карте	Индекс клетки на карте	Наименование месторождения и вид полезного ископаемого	Состояние эксплуатации	Тип месторождения (К—коренное, Р—россыпное)	Наименование месторождения и вид полезного ископаемого		Состояние эксплуатации	Тип месторождения (К—коренное, Р—россыпное)	№ использованного материала по списку (Прил. 1)
					№ по карте	Индекс клетки на карте			
50	I-2	Черная сопка	Подготавливается карьер для добывания открытым способом	K	5, 10				
51	II-1	Наудинское Сланцы	Не эксплуатируется	K	5				
52	II-2	Кварцево-сернистые Сланцы	То же	K	5				
53	9	Усть-Кяхтинское							
54	I-2	Гейльцы	Эксплуатируется	K	3, 5				
55	II-3	Шергинское							
56	72	Вулканическое стекло							
57	I-4	Усть-Харлуское	Не эксплуатируется	K	5				
58	I-1	Вулканические туфы	Эксплуатируется	K	1, 5, 9				
59	1	Джидинское							
60	29	Малокумынское	Не эксплуатируется	K	3, 5				
61	I-4	Сафроновское	То же	K	5				
62	17	Ханыдацкое-I	Не эксплуатируется	K	5				
63	4	Ханыдацкое-II	То же	K	5				
64	5	Ханыдацкое-III							
65	76	Галины							
66	74	Киринское							
67	76	Соленогольское							
68	56	Огневпорные глины	Не эксплуатируется	K	5				
69	II-2	Кяхтинское	To же	K	5				
70	31	Галька, гравий	To же	K	5, 6				
71	II-1	Селенгинское	" "	K	5				
72	22	Чикойское	" "	K	5				
73	II-1	Ботийское							
74	II-2	Кварциты							
75	44	Глауконитовое							
76	60	Круглое	Не эксплуатируется	K	5, 10				
77	59	Лама-Горское	To же	K	5, 10				
78	62	Пригородное-I	" "	K	5, 10				
79	42	Трактовое-I	" "	K	5, 10				
80	47	Трактовое-II	" "	K	5, 10				
81	II-2	Минералы карбаски							
82	15	Калитовское	" "	K	4				
83	75	Лечебные грязи	Работает курорт	K	5				

ПРИЛОЖЕНИЕ 3

СПИСОК НЕПРОМЫШЛЕННЫХ МЕСТОРОЖДЕНИЙ ПОЛЕЗНЫХ ИСКОПАЕМЫХ, ПОКАЗАННЫХ НА ЛИСТЕ №-48-XVII КАРТЫ ПОЛЕЗНЫХ ИСКОПАЕМЫХ МАСШТАБА 1:200 000

№ на карте	Индекс клетки на карте	Наименование месторождения и вид полезного ископаемого	Металлические ископаемые		Тип месторождения (К—коренное, Р—россыпное)	№ использованного материала по списку (Прил. 1)
			Состояние эксплуатации	Р		
38	II-1	Ботинское Алюминий	Не эксплуатируется	P	2, 5	
54	II-2	Вставное Глухая паль	То же	K	5, 10	
46	II-2	Далнее	" "	K	5, 10	
53	II-2	Кругое	" "	K	5, 10	
61	II-2	Лама-Гора	" "	K	5, 10	
57	II-2	Лесное	" "	K	5, 10	
49	II-2	Наушинское	" "	K	5, 10	
35	II-1	Новые Суджи	" "	K	5, 10	
52	II-2	Пограничное	" "	K	5, 10	
36	II-1	Пригородное-1	" "	K	5, 10	
63	II-2	Пригородное-II	" "	K	5, 10	
64	II-2	Суджик	" "	K	5, 10	
51	II-2	Стаповое	" "	K	5, 10	
43	II-2	Тракторное-I	" "	K	5, 10	
48	II-2	Тракторное-II	" "	K	5, 10	
3	I-1	Харанхойское	" "	K	5, 10	
39	II-1	Южное-I	" "	K	5, 10	
78	II-2	Южное-II	" "	K	5, 10	
66	II-3	Кирпичные глины Капчерацкое	" "	K	5, 6	
19	I-4	Огнеупорные глины	" "	K	5, 6	
40	II-2	Усть-Кяхтинское	" "	K	5, 6	
41	II-2	Липовское	" "	K	5, 6	

ПРИЛОЖЕНИЕ 4

СПИСОК ПРОЯВЛЕННЫХ ПОЛЕЗНЫХ ИСКОПАЕМЫХ, ПОКАЗАННЫХ НА ЛИСТЕ №-48-XVII КАРТЫ ПОЛЕЗНЫХ ИСКОПАЕМЫХ МАСШТАБА 1:200 000

№ на карте	Индекс клетки на карте	Название (местонахождение) проявления и вид полезного ископаемого	Металлические ископаемые		Характеристика проявления	№ использованного материала по списку (Прил. 1)
			Гематитовые рути	Титан		
28	I-4	Тархатуйское	Квари-гематитовые сланцы с содержанием железа 48—50%.		5, 8	
45	II-2	Глухопадское	Мощность горизонтов 5—15 м. Протяженность 300—500 м.		2, 5	
70	II-3	Бурдунское-I	Вкрапленность рутила в породах хангарульской свиты		5	
71	II-3	Бурдунское-II	То же		5	
77	II-4	Зыряновское	Вкрапленность самородной мелли в кварцевых жилах		5, 8	
27	I-4	Цайдамское-I	Малахит и азурит в кварцевых жилах		5, 8	
73	II-4	Цайдамское-II	Малахит и азурит в кварце-		5	
68	II-3	Бериллий	Малахит и азурит в кварцевых жилах		5	
69	II-3	Капчерацкое	В пегматитовых жилах установлено спектральным анализом от 0,03 до 0,06% берилля		5, 10	
19	I-4	Муухутское	В пегматитовых жилах спектральным анализом установлено до 0,03% ниобия; в протолициях—до 0,45 z/m тантало-платиновых		5	
23	I-4	Хольское	жилья, в одиой из проб прибрежным анализом установлено золото до 10,8 z/m		5	

Продолжение прилож. 4

№ по карте	Название (местонахождение) проявления и вид полезного ископаемого	Характеристика проявления	Индекс клетки на карте		
				№ использованного материала по списку (Прил. 1)	
<b>Неметаллические ископаемые</b>					
6	Исландский шпат				
8	I-2 Калиновское-II	Обломки кристаллов исландского шпата в поле развития неогеновых эфузивов цемент ской свиты	То же	5	
10	I-2 Калиновское-III			5	
11	I-2 Калиновское-IV			5	
12	I-2 Калиновское-V			5	
13	I-2 Калиновское-VI			5	
14	I-2 Калиновское-VII			5	
16	I-2 Калиновское-VIII			5	
2	Флюорит				
1-1	Мало-Харасунское	Кругопадающие кварц-флюоритовые прожилки мощностью от 5 до 10 см	1, 5		
20	I-4 Мухутское	Кварц-флюоритовые жилы с содержанием флюорита до 15%	5		
24	I-4 Холмское	Маломощные прожилки флюорита в хамар-лабанских гранитоидах	1, 5		
30	II-1 Саган-Усунское				
37	Наукинское	Серия пологонаклонных жил, протяженностью 50–100 м и мощностью 5–10 м	5		
67	II-3 Канчаранское	Серия пегматитовых жил, протяженностью от 100 до 200 м и мощностью от 1 до 20 м	5		
26	I-3-4 Гора Козья	Горизонты белых и серых кварц-сернистовых сланцев в толще средне-протерозойского возраста	5		
	Кварц				
21	I-4 Мухутское	Жилы низкотемпературного хальцедоновидного кварца	5		
25	I-4 Холмское	То же	5		